
INVENTAIRE ARCHÉOLOGIQUE (2025)

DIRECTION GÉNÉRALE TERRITORIALE DE
L'ESTRIE ET DE LA MONTÉRÉGIE



Janvier 2026

Direction générale de l'Estrie et de la Montérégie

INVENTAIRE ARCHÉOLOGIQUE (2025)

N° de dossier, ministère des Transports et de la Mobilité durable : 4306-23-AD05

Janvier 2026

Rapport préparé par :

Artefactuel

Bureau de l'Est du Québec

22, rue Richard

Cap Santé (Qc), G0A 1L0

Bureau de l'Ouest du Québec

40, rue Sainte-Catherine

Beauharnois (Qc), J6N 2P9

Téléphone : 418-999-0138

Courriel : info@artefactuel.ca

Site Web : www.artefactuel.ca

Rapport préparé pour :

Ministère des Transports et de la Mobilité durable

Direction de l'environnement

800, place d'Youville, 11^e étage

Québec (Québec) G1R 3P4

Permis de recherche archéologique délivré à Artefactuel

25-ARTE-13

RÉSUMÉ

Du 19 au 21 septembre 2025, trois inventaires archéologiques ont été réalisés dans le cadre de projets de réfection de ponceaux par le ministère des Transports et de la Mobilité durable (MTMD). Ces interventions ont eu lieu dans les municipalités de Frelighsburg (154-20-0770), Saint-Georges-de-Windsor (154-19-0057) et Saint-Romain (154-17-0020) par une équipe composée d'un archéologue responsable d'intervention et de deux techniciens-archéologues. Malgré la réalisation d'une inspection visuelle et de sondages sur chacune des emprises, aucun site archéologique n'a été découvert. Ces résultats négatifs montrent que les travaux prévus par le Ministère peuvent avoir lieu sans porter atteinte au patrimoine archéologique.

ÉQUIPE DE RÉALISATION

Ministère des Transports et de la Mobilité durable

Direction de l'environnement

Frank Rochefort, archéologue, chargé d'activité en archéologie

Artefactuel

Rédigé par :

Patrick Eid, archéologue responsable d'intervention

Révisé par :

Louis Gilbert, archéologue, chargé de projet, cartographie

Équipe de terrain :

Patrick Eid, archéologue responsable d'intervention

Bernhardt Delaunay, technicien-archéologue senior

Christian Perreault, technicien-archéologue senior

TABLE DES MATIÈRES

RÉSUMÉ	II
ÉQUIPE DE RÉALISATION	III
TABLE DES MATIÈRES	IV
LISTE DES TABLEAUX	V
TABLE DES ILLUSTRATIONS.....	VI
1.0 INTRODUCTION.....	1
2.0 MÉTHODES ET TECHNIQUES D'INVENTAIRE	3
2.1 RECHERCHES DOCUMENTAIRES	3
2.2 INVENTAIRES ARCHÉOLOGIQUES.....	3
2.3 CONSIGNATION DES DONNÉES	4
3.0 RÉSULTATS.....	5
3.1.1 PROJET 154-20-0770 (FRELIGHSBURG).....	5
3.1.2 CONTEXTE HISTORIQUE DE L'AIRES D'ÉTUDE THÉORIQUE	6
3.1.3 RÉSULTATS ET DISCUSSION.....	7
3.2.1 PROJET 154-19-0057 (SAINT-GEORGES-DE-WINDSOR).....	13
3.2.2 CONTEXTE HISTORIQUE DE L'AIRES D'ÉTUDE THÉORIQUE	14
3.2.3 RÉSULTATS ET DISCUSSION.....	15
3.3.1 PROJET 154-17-0020 (SAINT-ROMAIN).....	24
3.3.2 CONTEXTE HISTORIQUE DE L'AIRES D'ÉTUDE THÉORIQUE	25
3.3.3 RÉSULTATS ET DISCUSSION.....	26
4.0 CONCLUSION ET RECOMMANDATIONS	33
5.0 BIBLIOGRAPHIE	34
ANNEXE 1 : CATALOGUE DES PHOTOGRAPHIES	37
ANNEXE 2 : PLANCHES CONTACTS DES PHOTOGRAPHIES.....	39
ANNEXE 3 : CATALOGUE DES DOCUMENTS GRAPHIQUES.....	42

LISTE DES TABLEAUX

Tableau 1 : Projet 154-20-0770, interventions archéologiques antérieures dans un rayon de 2 km du centre du projet.....	5
Tableau 2 : Projet 154-20-0770, patrimoine immobilier dans un rayon de 2 km du centre du projet.....	6
Tableau 3 : Projet 154-19-0057, interventions archéologiques antérieures dans un rayon de 5 km du centre du projet.....	14
Tableau 4 : Projet 154-19-0057, patrimoine immobilier dans un rayon de 5 km du centre du projet.....	14
Tableau 5 : Inventaire archéologique – synthèse des activités – projet 154-19-0057, municipalité de Saint-Georges-de-Windsor.....	17
Tableau 6 : Projet 154-17-0020, interventions archéologiques antérieures dans un rayon de 5 km du centre du projet.....	24
Tableau 7 : Projet 154-17-0020, patrimoine immobilier dans un rayon de 5 km du centre du projet.....	24
Tableau 8 : Inventaire archéologique – synthèse des activités – projet 154-17-0020, municipalité de Saint-Romain.....	27

TABLE DES ILLUSTRATIONS

Page couverture : Vue de l'emprise de la zone est, projet 154-19-0057, chemin Brouillard, Saint-Georges-de-Windsor (vue vers l'est, photo 154-19-0057 (9)).

Figure 1 : Localisation des trois projets d'inventaire archéologiques dans les municipalités de Frelighsburg (154-20-0770), Saint-Georges-de-Windsor (154-19-0057) et Saint-Romain (154-17-0020).....	2
Figure 2 : Plan sur orthophotographie montrant l'emplacement du projet 154-20-0770 et les interventions archéologiques antérieures comprises dans la zone d'étude de 2 km de rayon, chemin de Saint-Armand, Frelighsburg (Source : MTMD).	8
Figure 3 : Plan montrant l'emprise inventoriée, ainsi que la topographie du secteur environnant, projet 154-20-0770, chemin de Saint-Armand, Frelighsburg (Source : MTMD).	9
Figure 4 : Plan sur orthophotographie localisant les sondages archéologiques, projet 154-20-0770, chemin de Saint-Armand, Frelighsburg.....	10
Figure 5 : Vue générale de l'emprise depuis son extrémité ouest, projet 154-20-0770, chemin de Saint-Armand, Frelighsburg (vue vers le nord-est, photo 154-20-0770 (23)).....	11
Figure 6 : Vue de la portion centrale de l'emprise à l'endroit d'un sentier pédestre, projet 154-20-0770, chemin de Saint-Armand, Frelighsburg (vue vers le sud, photo 154-20-0770 (18)).....	11
Figure 7 : Vue de la paroi du sondage test, projet 154-20-0770, chemin de Saint-Armand, Frelighsburg (vue vers l'ouest, photo 154-20-0770 (15)).....	12
Figure 8 : Plan sur orthophotographie montrant l'emplacement du projet 154-19-0057, ainsi qu'une intervention archéologique antérieure comprise dans la zone d'étude de 5 km de rayon, chemin Brouillard, Saint-Georges-de-Windsor (Source : MTMD).....	18
Figure 9 : Plan de l'emprise à inventoriée, projet 154-19-0057, chemin Brouillard, Saint-Georges-de-Windsor (Source : MTMD).....	19
Figure 10 : Plan sur orthophotographie localisant les sondages archéologiques, projet 154-19-0057, chemin Brouillard, Saint-Georges-de-Windsor.....	20
Figure 11 : Vue de l'emprise de la zone ouest, projet 154-19-0057, chemin Brouillard, Saint-Georges-de-Windsor (vue vers l'est, photo 154-19-0057 (41)).	21
Figure 12 : Vue de l'emprise de la zone centrale et d'une partie du lit asséché du ruisseau Soucy, projet 154-19-0057, chemin Brouillard, Saint-Georges-de-Windsor (vue vers l'ouest, photo 154-19-0057 (24)).....	21
Figure 13 : Vue de l'emprise de la zone est, projet 154-19-0057, chemin Brouillard, Saint-Georges-de-Windsor (vue vers l'ouest, photo 154-19-0057 (3)).....	22
Figure 14 : Vue de la paroi du sondage test situé dans la zone est, projet 154-19-0057, chemin Brouillard, Saint-Georges-de-Windsor (vue vers l'est, photo 154-19-0057 (30)).....	22
Figure 15 : Vue de la paroi du sondage test situé dans la zone centrale, projet 154-19-0057, chemin Brouillard, Saint-Georges-de-Windsor (vue vers l'est, photo 154-19-0057 (38)).....	23
Figure 16 : Plan sur orthophotographie montrant l'emplacement du projet 154-17-0020, ainsi que les interventions archéologiques antérieures comprises dans la zone d'étude de 5 km de rayon, route 263, Saint-Romain.	28
Figure 17 : Plan de l'emprise inventoriée, projet 154-17-0020, route 263, Saint-Romain (Source : MTMD)....	29
Figure 18 : Plan sur orthophotographie localisant les sondages archéologiques, projet 154-17-0020, route 263, Saint-Romain.....	30

Figure 19 : Vue générale du secteur élevé de l'emprise, projet 154-17-0020, route 263, Saint-Romain (vue vers le nord, photo 154-17-0020 (8)).	31
Figure 20 : Vue générale du secteur bas de l'emprise, projet 154-17-0020, route 263, Saint-Romain (vue vers le nord, photo 154-17-0020 (10)).	31
Figure 21 : Vue de la paroi d'un sondage situé dans la portion basse de l'emprise, projet 154-17-0020, route 263, Saint-Romain (vue vers le nord, photo 154-17-0020 (16)).	32
Figure 22 : Vue de la paroi du sondage test situé dans la portion élevée de l'emprise, projet 154-17-0020, route 263, Saint-Romain (vue vers l'est, photo 154-17-0020 (21)).	32

1.0 INTRODUCTION

Ce rapport fait état des résultats de trois inventaires archéologiques réalisés dans la direction générale de l'Estrie et de la Montérégie et, plus particulièrement, dans les municipalités de Frelighsburg (154-20-0770), Saint-Georges-de-Windsor (154-19-0057) et Saint-Romain (154-17-0020) (Figure 1). Ces trois interventions ont été faites préalablement à des travaux routiers relatifs à la réfection de ponceaux.

Les inventaires archéologiques avaient pour objectif de vérifier la présence de sites archéologiques dans l'emprise des projets routiers. Dans l'éventualité d'une découverte de site, l'évaluation qualitative et quantitative des données et des contextes archéologiques devait être réalisée et des recommandations relativement à la mitigation des impacts devaient être formulées.

Le mandat confié à Artefactuel comprenait les recherches documentaires, la réalisation des inventaires archéologiques selon la méthodologie du MTMD, l'évaluation des éventuels sites archéologiques mis au jour lors des interventions, l'analyse des données récupérées lors des interventions, ainsi que la rédaction du rapport de recherche. Les expertises sur le terrain se sont limitées aux emprises, servitudes et propriétés du MTMD.

Les trois interventions archéologiques ont été réalisées du 19 et 21 et septembre 2025 et elles répondaient aux exigences du ministère de la Culture et des Communications du Québec relatives à l'émission d'un permis de recherche archéologique découlant de la Loi sur le patrimoine culturel et du Règlement sur la recherche archéologique. Le rapport comprend pour chaque projet un court historique de l'occupation humaine du secteur, une brève description du cadre environnemental, la méthode d'intervention, les résultats de l'inventaire, ainsi que des recommandations.

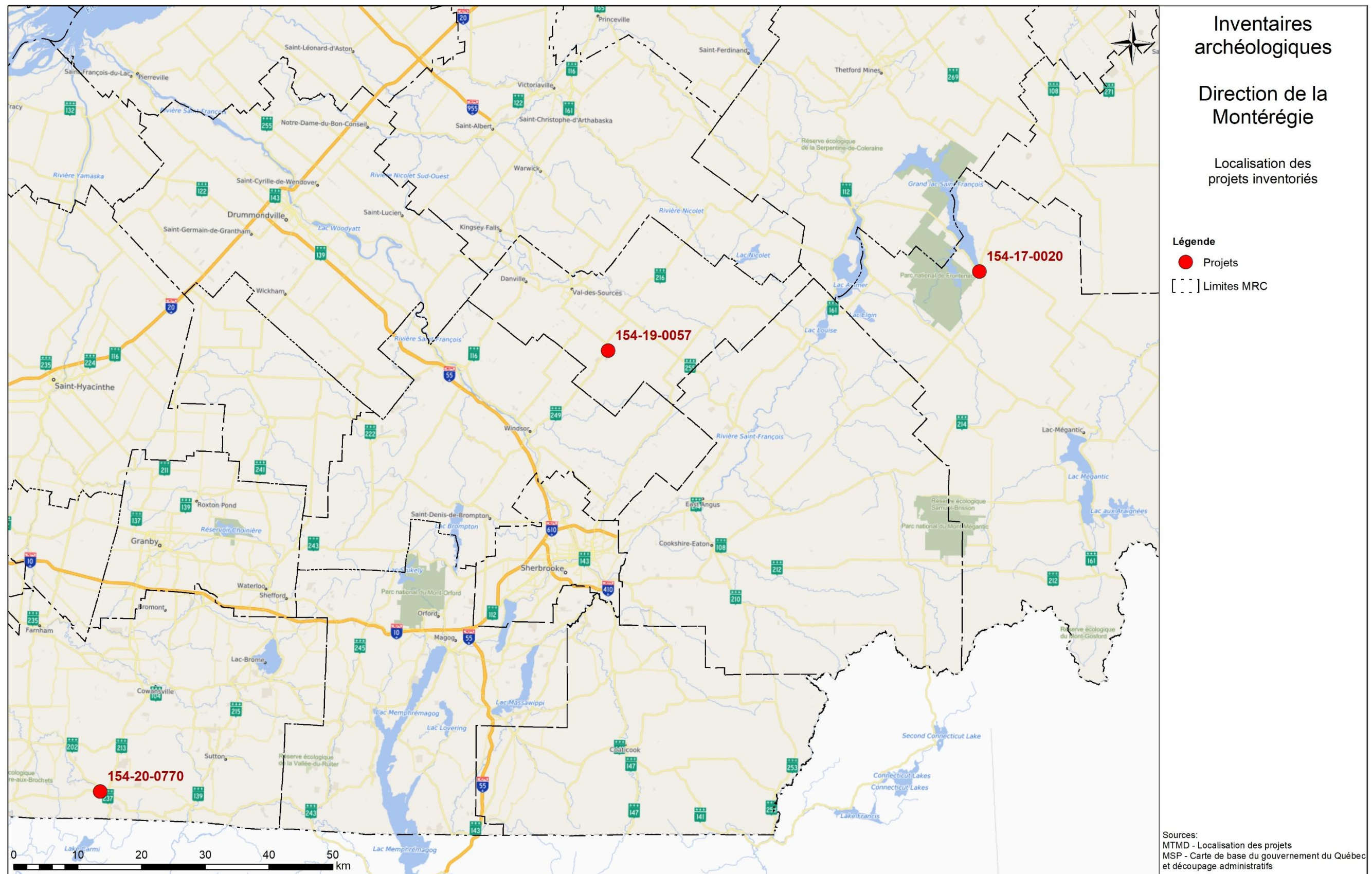


Figure 1 : Localisation des trois projets d'inventaire archéologiques dans les municipalités de Frelighsburg (154-20-0770), Saint-Georges-de-Windsor (154-19-0057) et Saint-Romain (154-17-0020).

2.0 MÉTHODES ET TECHNIQUES D'INVENTAIRE

Les méthodes et techniques appliquées lors de la réalisation des inventaires archéologiques étaient conformes aux directives prescrites par le devis du MTMD. Les techniques d'intervention sur le terrain pouvaient toutefois varier selon l'état des lieux, la topographie et la nature des dépôts en place.

2.1 Recherches documentaires

La zone d'étude comprise dans un rayon de deux à cinq kilomètres autour du centre du projet, soit la superficie indiquée par le Ministère lors de l'attribution du mandat, a été incluse dans les recherches documentaires visant à identifier la présence de sites archéologiques et les éléments des contextes naturels et patrimoniaux. Ces derniers participent à la compréhension du paléoenvironnement ainsi que des événements du passé autochtone et euroquébécois dans la région de chaque projet.

Les données recueillies proviennent de la base de données du portail IGO-MSP du ministère de la Sécurité publique, des rapports archéologiques compilés sur la Bibliothèque numérique archéologique du ministère de la Culture, de la base de données de l'Inventaire des sites archéologiques du Québec (ISAQ), du Répertoire du patrimoine culturel du Québec (RPCQ), ainsi que des divers rapports et publications disponibles pour les secteurs à l'étude.

2.2 Inventaires archéologiques

L'inventaire archéologique a débuté par une inspection visuelle systématique de l'emprise de chaque projet permettant de caractériser les zones à sonder et de repérer de potentiels vestiges ou artefacts en surface. Les secteurs comportant des pentes fortes, des affleurements rocheux, des zones humides et marécageuses ou des aménagements récents n'ont pas fait l'objet de sondages.

Dans les secteurs qui s'y prêtaient, l'excavation de puits de sondages archéologiques mesurant minimalement 900 cm² a été réalisée à la pelle et à la truelle. En présence de couches humiques en surface, un examen après le retrait à la pelle était d'abord effectué avant de poursuivre l'excavation des horizons minéraux. La profondeur de chaque puits de sondage était déterminée par l'identification d'un niveau naturel non perturbé par des activités anthropiques.

La distance entre les sondages était variable selon les projets en fonction de la méthode prescrite par le Ministère. Elle était de 5 m pour les projets 154-20-0770 et 154-17-0020 et de 15 m pour le projet 154-19-0057. Des sondages-tests étaient généralement réalisés aux 500 m ou lorsque l'environnement changeait significativement. Ces sondages faisaient 50 cm de côté et s'enfonçaient jusqu'à 0,70 m de profondeur. Les parois de ces sondages ont été enregistrées et photographiées.

2.3 Consignation des données

Les données ont été principalement consignées au sein d'un carnet de notes, alors que des fiches d'enregistrement normalisées ont été utilisées pour décrire la stratigraphie et le contenu des sondages. Chaque sondage a été localisé au GPS programmé selon le système de projection MTM et le système de référence géodésique NAD83. Une couverture photographique détaillée des interventions a été réalisée à l'aide d'un appareil numérique de haute résolution, et les clichés ont été enregistrés dans un catalogue de photographies (**Annexe 1**).

3.0 RÉSULTATS

3.1.1 Projet 154-20-0770 (Frelighsburg)

Le projet 154-20-0770 se situe à l'ouest du centre du village de Frelighsburg (MRC de Brome-Missisquoi; circonscription électorale provinciale de Brome-Missisquoi) et il longe le côté nord du chemin de Saint-Armand (figures 1 à 4). L'emprise est située entre la rivière au Brochet à l'est et un ruisseau sans nom à l'ouest se jetant dans la rivière. L'espace entre les deux cours d'eau est couvert d'une forêt entourée principalement de champs cultivés et de terrains aménagés (Figure 5 et 6).

L'inventaire est réalisé préalablement à la réfection d'un ponceau et l'emprise prend la forme d'un polygone irrégulier affichant des dimensions d'environ 75 m de longueur (est-ouest) sur une largeur d'environ 8 à 17 m (nord-sud) pour une superficie d'environ 650 m². L'emprise inventoriée correspond à une zone plane d'une altitude variant entre 97 et 98 m ANMM (figure 3).

Frelighsburg est compris dans la région physiographique des Appalaches, dans l'unité de paysage régional de Sherbrooke (Robitaille et Saucier 1998). La région écologique des Coteaux de l'Estrie caractérise les environs de Frelighsburg avec son relief vallonné et ses coteaux orientés sur un axe sud-est/nord-ouest. Le domaine bioclimatique est celui de l'érablière à tilleul de l'Est (Gosselin 2007). L'emprise inventoriée se situe dans la formation des loams sableux de Sheldon (IRDA 2008a).

Le mandat consistait à effectuer un inventaire archéologique dans l'emprise des travaux via des sondages manuels espacés de 5 m les uns des autres. Cet inventaire a eu lieu le 21 septembre 2025 et il a été réalisé par une équipe composée d'un archéologue responsable de l'intervention et de deux techniciens-archéologues.

La zone d'étude théorique s'étend sur un rayon de 2 km autour du centre du projet. L'application IGO-MSP du ministère de la Sécurité publique ne dénombre aucun site archéologique et trois zones d'informations archéologiques (ZIA) (Tableau 1, Figure 2). À l'intérieur de la zone d'étude théorique, on signale aussi la présence d'un immeuble patrimonial classé et de trois autres ayant fait l'objet d'une citation (Tableau 2). À noter que tous ces éléments se situent à l'extérieur de l'emprise du projet 154-20-0770.

Tableau 1 : Projet 154-20-0770, interventions archéologiques antérieures dans un rayon de 2 km du centre du projet.

Référence	Localisation	Distance du centre du projet	Résultat	Recommandations
Blais et Graillon 1993 (ISAQ 1990)	Rivière aux Brochets et ses affluents, route 237 sud et chemin Richford	0,5 km	Négatif (portion comprise dans l'aire d'étude)	Aucune
Ethnoscop 2012 (ISAQ 5163)	Jonction des routes 213 et 237 à Frelighsburg	0,5 km	Négatif	Aucune
Artefactuel 2025 (ISAQ 8253)	Route 237 sud et sa jonction avec le chemin Richford	1 km	Négatif	Aucune

Tableau 2 : Projet 154-20-0770, patrimoine immobilier dans un rayon de 2 km du centre du projet.

Patrimoine immobilier	Localisation	Distance du centre du projet	Statut légal
Moulin Freligh	11, route 237 Nord, Frelighsburg	1,3 km	Bien immobilier classé
Église Bishop Stewart of the Holy Trinity	5, chemin Garagona, Frelighsburg	1,4 km	Cité au registre du Patrimoine culturel
Cimetière de l'église Bishop Stewart Memorial of the Holy Trinity	5, chemin Garagona, Frelighsburg	1,4 km	Cité au registre du Patrimoine culturel
Presbytère de l'église Bishop Stewart Memorial of the Holy Trinity	5, chemin Garagona, Frelighsburg	1,4 km	Cité au registre du Patrimoine culturel

3.1.2 Contexte historique de l'aire d'étude théorique

La plus ancienne occupation humaine documentée au Québec à ce jour se situe en Estrie, dans la région du lac Mégantic, et ce site aurait été occupé il y a environ 12 000 durant la période du Paléoindien ancien (12 500 à 11 350 AA) (Chapdelaine 2004, 2007, 2014). L'Estrie compte de très nombreux sites archéologiques des différentes périodes de la préhistoire. Ils sont pour la plupart mis au jour à proximité de lacs ou de cours d'eau et témoignent d'une présence de chasseurs-cueilleurs nomades ayant établi de petits campements pour des occupations temporaires. Dans la région environnant Frelighsburg, on ne compte aucun site archéologique ayant une composante autochtone, ce qui est probablement dû au nombre limité de recherches réalisées dans ce secteur. La concentration de sites en sol québécois la plus proche se situe à environ 20 km vers l'ouest, dans le secteur du lac Champlain (baie du Missisquoi) et sur les berges de la rivière aux Brochets. Les occupations de ce secteur s'étendent de l'Archaique laurentien au Sylvicole supérieur (Chapdelaine 1996; ISAQ 2025). Au sud de la frontière, le secteur du lac Champlain compte aussi un grand nombre de sites de ces mêmes périodes, mais également plusieurs autres beaucoup plus anciens. En effet, on dénombre plusieurs établissements du Paléoindien ancien et récent (Robinson 2009; Robinson *et al.* 2018), ainsi que de l'Archaique ancien et moyen (Chapdelaine 1996; Thomas 1992, 1994).

Durant la période coloniale, l'Estrie était le territoire privilégié des W8banaki de l'ouest et surtout d'un sous-groupe nommé les Sokokis. Leur présence était plus soutenue dans l'amont du bassin versant de la rivière Connecticut aux États-Unis, mais ils devaient fréquenter aussi des territoires plus nordiques comme l'Estrie. En 1670 ils s'installent à Odanak, dans la vallée du Saint-Laurent, à proximité du lac Saint-Pierre. La présence autochtone se poursuit durant les siècles suivants, mais l'implantation de colons durant le XIX^e siècle met de plus en plus de pression sur ces groupes et sur leurs territoires ancestraux de chasse et de pêche. Leur présence s'étirera jusqu'au XX^e siècle, mais de manière beaucoup moins soutenue (Arkéos 1999 ; Ethnoscop 2011).

La région demeure un lieu de passage et d'habitation temporaire pour les Autochtones et les Européens jusqu'à la fin du XVIII^e siècle. Des seigneuries sont concédées dans la région du lac Champlain après la construction du fort Saint-Frédéric en 1731, mais sans réel développement (Charland 1961 : 231). Ce n'est qu'avec l'arrivée des loyalistes américains qui quittent les États-Unis lors de la guerre d'indépendance américaine entre 1776 et 1783 que l'Estrie voit la fondation d'établissements permanents malgré la réticence du gouverneur Haldimand (Campey 2012 : 45). Le village de Saint-

Armand, fondé en 1784 sur une ancienne seigneurie, est considéré comme le plus ancien village de la MRC de Brome-Missisquoi. Frelighsburg fait partie de ces villages pionniers puisque d'après Jeanne et Jean-Marie Demers (1997), un moulin à farine y aurait été bâti par Fred Owen dès 1790. Ce premier moulin occupait l'emplacement de l'actuel moulin de Frelighsburg bâti par Richard Freligh en 1839 (Demers et Demers 1997; Répertoire du Patrimoine culturel du Québec 2024c). C'est donc autour du moulin que se développe le village au tournant du XIX^e siècle. Les communautés anglophones et francophones se côtoient et les églises anglicane et catholique, respectivement bâties en 1808 (Répertoire du Patrimoine culturel du Québec 2024a) et 1885 (Répertoire du Patrimoine culturel du Québec 2024b) soulignent cette mixité. Aujourd'hui la région est principalement agricole et connue pour sa pomiculture. L'examen de photos aériennes datées entre 1950 et 1968 montre que l'emprise était alors défrichée et probablement utilisée comme champ agricole ou comme pâturage (Photothèque nationale de l'air 2025).

3.1.3 Résultats et discussion

L'emprise du projet 154-20-0770 a permis la réalisation d'une inspection visuelle et de 31 sondages espacés aux 5 m (Tableau 23 et figure 4). L'intervention n'a révélé aucun site archéologique.

Les profils stratigraphiques rencontrés dans les sondages pouvaient varier selon les endroits. La première couche correspond à un niveau humique loameux ou limono-argileux, meuble, brun ou brun grisâtre. Son épaisseur peut varier de 10 à 20 cm principalement, mais près du ruisseau, elle peut atteindre 60 cm. Puisque des photos aériennes anciennes montrent que l'emprise a possiblement été un champ cultivé, ce niveau pourrait correspondre à un ancien labour. Toutefois, il n'est pas aussi homogène que les sols de labours typiques et il se pourrait donc aussi que le champ ait été utilisé uniquement comme pâturage, donc sans labours. Peut-être aussi qu'une culture maraîchère aurait pu générer des labours de différentes épaisseurs en fonction des variétés de plantes cultivées. Quoi qu'il en soit, ce premier niveau se dépose généralement sur une couche beigeâtre composée d'argile sableuse ou de loam limoneux de consistance compacte et contenant une forte proportion de galets et de gravier. L'épaisseur de ce second niveau peut varier entre 30 et 40 cm. Le troisième et dernier niveau documenté correspond à un sable brun roux contenant une forte quantité de gravier et un peu de galets. La consistance de cet horizon peut varier de meuble à compact et sa base n'a jamais été atteinte (figure 7). À noter que parfois, la seconde couche était absente de la séquence décrite ci-haut. Dans de rares sondages près de la route, les sols étaient caractérisés par des remblais routiers composés de pierre concassée.

Les 31 sondages et l'inspection visuelle réalisés dans l'emprise du projet 154-20-0770 ont donné des résultats négatifs. Dans ce contexte, nous recommandons au MTMD de procéder aux travaux de reconstruction sans la nécessité de poursuivre les recherches archéologiques et sans crainte de porter atteinte au patrimoine enfoui.

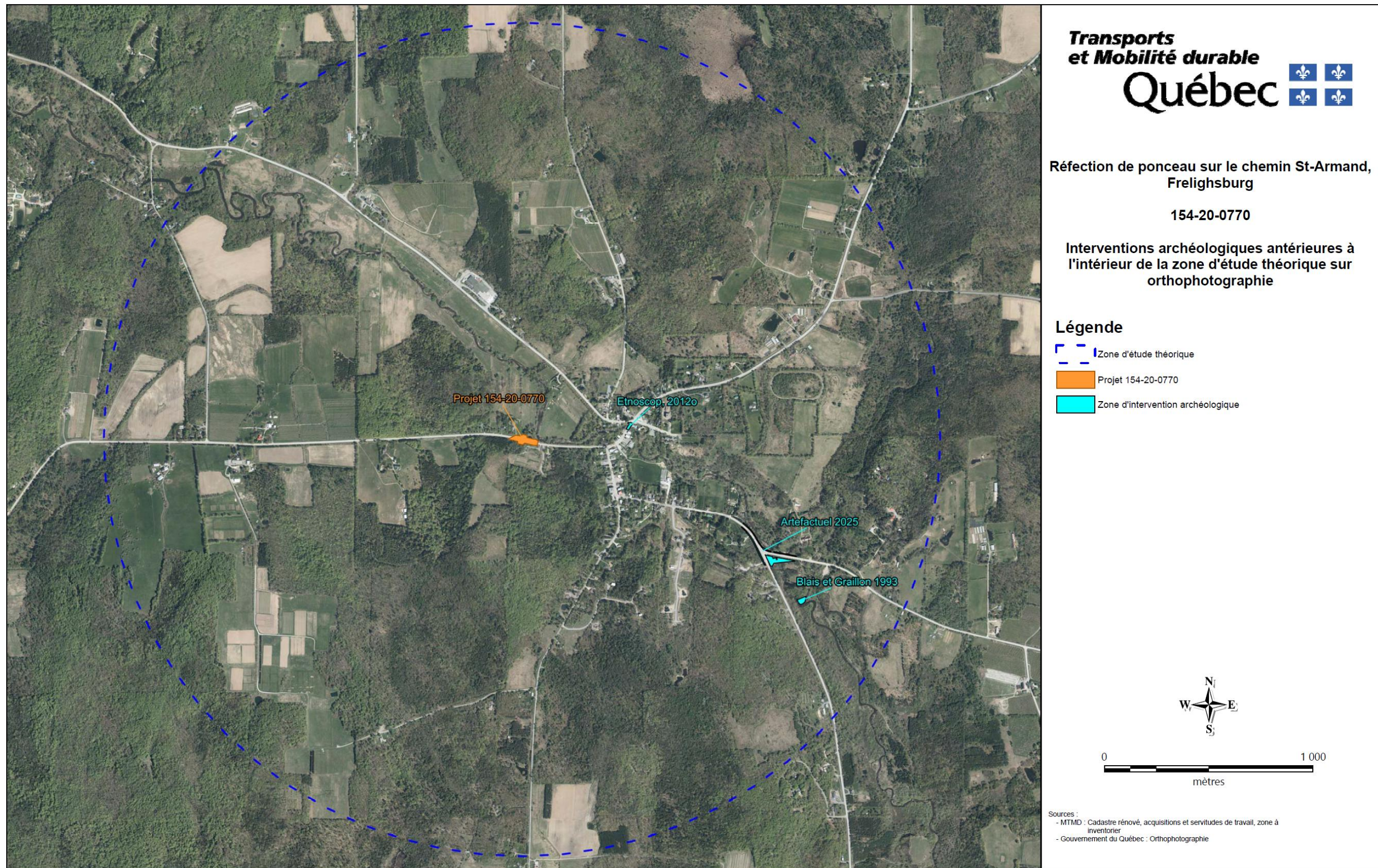


Figure 2 : Plan sur orthophotographie montrant l'emplacement du projet 154-20-0770 et les interventions archéologiques antérieures comprises dans la zone d'étude de 2 km de rayon, chemin de Saint-Armand, Frelighsburg (Source : MTMD).

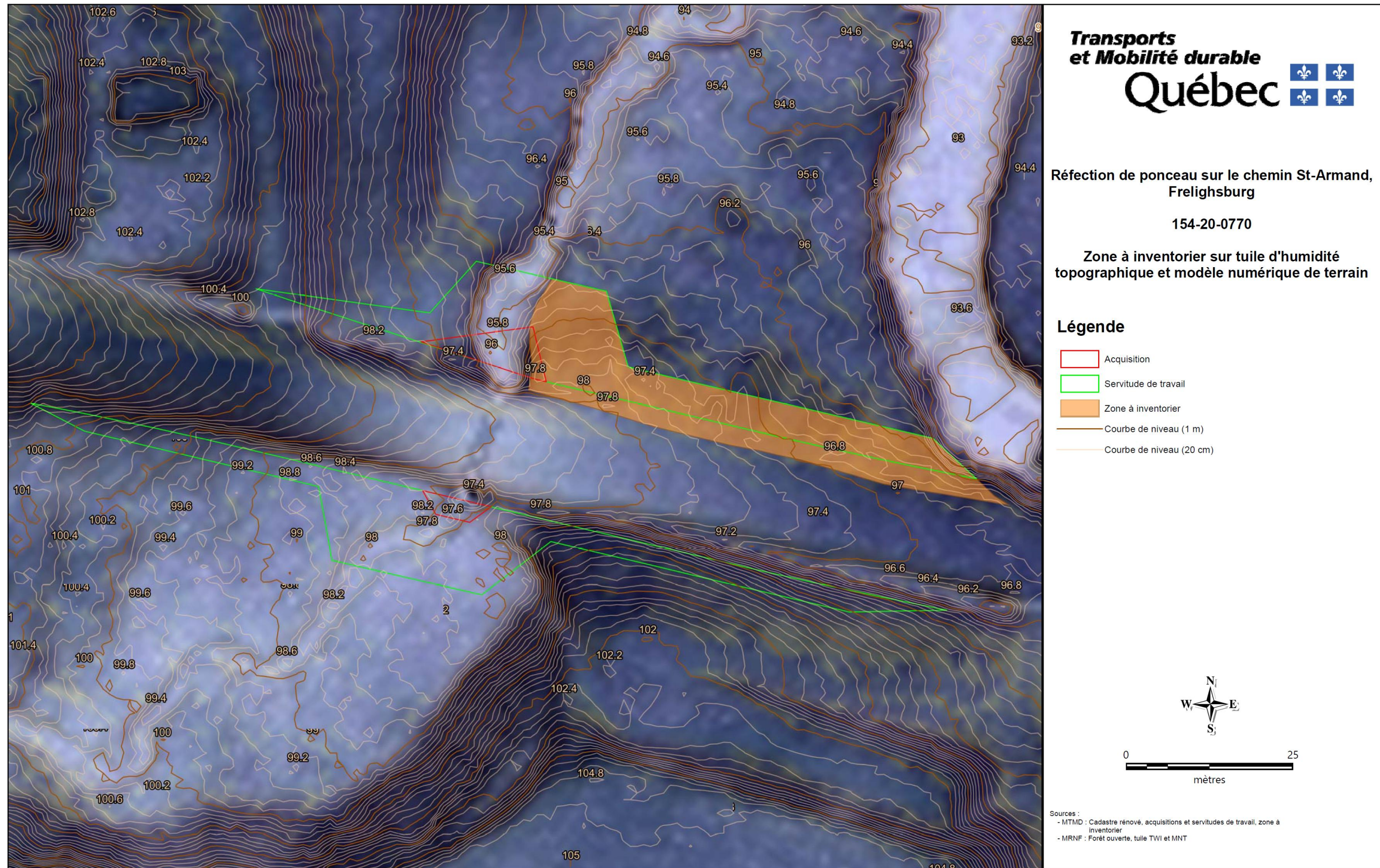


Figure 3 : Plan montrant l'emprise inventoriée, ainsi que la topographie du secteur environnant, projet 154-20-0770, chemin de Saint-Armand, Frelighsburg (Source : MTMD).



Figure 4 : Plan sur orthophotographie localisant les sondages archéologiques, projet 154-20-0770, chemin de Saint-Armand, Frelighsburg.



Figure 5 : Vue générale de l'emprise depuis son extrémité ouest, projet 154-20-0770, chemin de Saint-Armand, Frelighsburg (vue vers le nord-est, photo 154-20-0770 (23)).

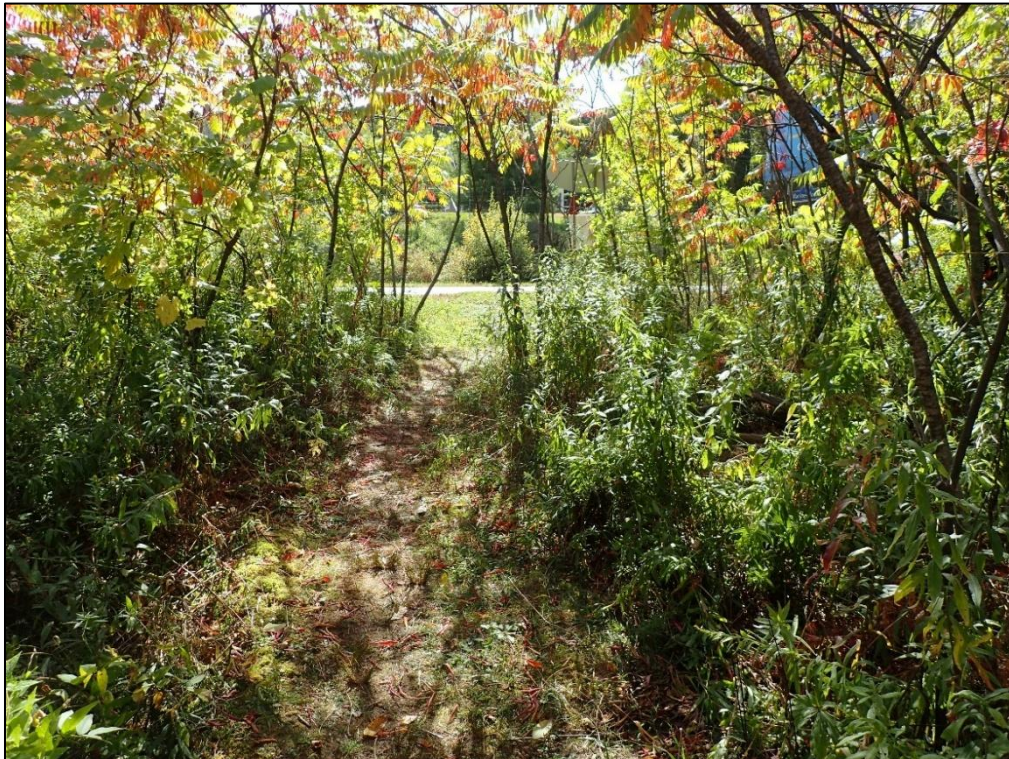
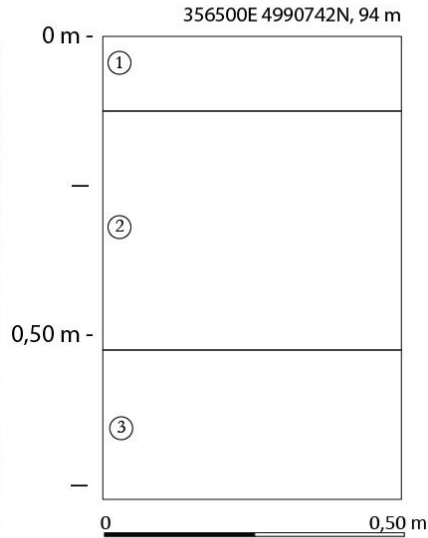


Figure 6 : Vue de la portion centrale de l'emprise à l'endroit d'un sentier pédestre, projet 154-20-0770, chemin de Saint-Armand, Frelighsburg (vue vers le sud, photo 154-20-0770 (18)).

Projet 154-20-0770

Stratigraphie du sondage-test

Photo 154-20-0770-15



- 1 - Horizon humique loameux, brun
- 2 - Argile sableuse beige, compact, avec beaucoup de gravier et galets
- 3 - Sable brun roux graveleux, meuble avec un peu de galets

Figure 7 : Vue de la paroi du sondage test, projet 154-20-0770, chemin de Saint-Armand, Frelighsburg (vue vers l'ouest, photo 154-20-0770 (15)).

Tableau 3 : Inventaire archéologique – synthèse des activités – projet 154-20-0770, municipalité de Frelighsburg.

Secteur	Localisation					Intervention	Nb de sondages		Topographie	Stratigraphie	Remarque
	Début (ch)	Fin (ch)	Long. max. (m)	Larg. max. (m)	Superficie approx. (m ²)		+	-			
N/A	N/A	N/A	75	17	650	IV SA	0	31	Plane	1- Horizon humique loameux ou limono-argileux, meuble, brun ou brun-grisâtre (10 à 60 cm). 2- Argile sableuse ou loam limoneux beigeâtre, compact. Avec beaucoup de gravier et de galets (30 à 40 cm); 3- Sable brun roux graveleux, meuble ou compact, avec un peu de galets (creusé sur 30 cm).	Quelques sondages montraient des perturbations issues des aménagements routiers.

Légende : IV : inspection visuelle

SA : sondages alternés

SP : sondages ponctuels

TM : tranchées mécaniques

3.2.1 Projet 154-19-0057 (Saint-Georges-de-Windsor)

Le projet 154-19-0057 consiste en la réfection d'un ponceau canalisant le ruisseau Soucy, sous le chemin Brouillard, à Saint-Georges-de-Windsor (MRC les Sources, circonscription électorale provinciale de Richmond) et situé à 565 m de l'intersection avec la rue Principale (route 249). La zone à inventorier comprenait trois zones situées du côté nord de l'emprise et séparées chacune par une pente de dénivelé modéré (Figure 9 à Figure 13) :

- La zone ouest a une forme plutôt triangulaire et se situe sur un terrain relativement plat d'une altitude de 300 à 303 m ANMM. Elle a des dimensions de 49 m de longueur et une largeur maximale d'environ 25 m, pour une superficie totale d'environ 634 m². Elle se situe majoritairement dans un champ en culture à l'exception de son extrémité est qui est en milieu boisé.
- La zone centrale se situe en contrebas des deux autres, au niveau du ruisseau Soucy, sur un replat boisé d'une altitude de 294 à 296 m ANMM. Elle prend la forme d'un polygone irrégulier ayant des dimensions de 22 à 36 m de longueur sur une largeur d'environ 32 m, pour une superficie totale de 1005 m².
- La zone est a, elle aussi, une forme plutôt triangulaire et se situe également dans un champ cultivé relativement plat et d'une altitude de 301 à 302 m ANMM. Elle fait environ 73 m de longueur sur une largeur maximale d'environ 35 m, pour une superficie totale d'environ 1183 m².

Saint-Georges-de-Windsor est compris dans la région physiographique des Appalaches, dans l'unité de paysage régional de Sherbrooke qui se caractérise par un relief vallonné et des coteaux aux versants en pente douce. Le secteur se situe aussi dans la région écologique des Coteaux de l'Estrie et dans le domaine bioclimatique de l'Érablière à tilleul de l'Est (Forêt Ouverte 2025; Robitaille et Saucier 1998). L'emprise inventoriée se situe dans la formation pédologique des loams sableux schisteux d'Ascot (IRDA 2008b).

Le mandat consistait à effectuer un inventaire archéologique dans l'emprise des travaux via des sondages manuels espacés de 15 m les uns des autres. Cet inventaire a eu lieu le 20 septembre 2025 et a été réalisé par une équipe composée d'un archéologue responsable de l'intervention et de deux techniciens-archéologues.

La zone d'étude théorique s'étend sur un rayon de 5 km autour du centre du projet. L'application IGO-MSP du ministère de la Sécurité publique ne dénombre aucun site archéologique et une seule zone d'information archéologique (ZIA) (Tableau 3 et figure 8). À l'intérieur de la zone d'étude théorique, on signale aussi la présence d'un immeuble patrimonial cité (Tableau 4). À noter que tous ces éléments se situent à l'extérieur de l'emprise du projet 154-19-0057.

Tableau 3 : Projet 154-19-0057, interventions archéologiques antérieures dans un rayon de 5 km du centre du projet.

Référence	Localisation	Distance du centre du projet	Résultat	Recommandations
Bilodeau 1994	Sur la rue Principale (route 249), à l'ouest du chemin Brouillard	700 m	Négatif	Aucune

Tableau 4 : Projet 154-19-0057, patrimoine immobilier dans un rayon de 5 km du centre du projet.

Patrimoine immobilier	Localisation	Distance du centre du projet	Statut légal
Presbytère de Saint-Georges-de-Windsor	493, rue Principale, Saint-Georges-de-Windsor	655 m	Citation

3.2.2 Contexte historique de l'aire d'étude théorique

La plus ancienne occupation humaine documentée au Québec à ce jour se situe en Estrie, dans la région du lac Mégantic et le site aurait été occupé il y a environ 12 000 durant la période du Paléoindien ancien (12 500 à 11 350 AA) (Chapdelaine 2004, 2007, 2014). L'Estrie compte de très nombreux sites archéologiques des différentes périodes de la préhistoire. Ils sont pour la plupart mis au jour à proximité de lacs ou de cours d'eau et témoignent surtout d'une présence de chasseurs-cueilleurs nomades ayant établi de petits campements pour des occupations temporaires. Dans la région environnant Saint-Georges-de-Windsor, on ne compte pratiquement aucun site à composante autochtone, ce qui est probablement dû au petit nombre de recherches menées dans ce secteur. Le site le plus proche se situe à 13 km au nord-ouest de notre emprise, à Danville, au pic Sipton (BkFa-1). Il s'agit d'une carrière d'une possible argilite/pélite qui aurait été exploitée durant la paléohistoire (Burke 2019, 2020).

Durant la période coloniale, l'Estrie était le territoire privilégié des W8banaki de l'ouest et surtout d'un sous-groupe nommé les Sokokis. Leur présence était plus soutenue dans l'amont du bassin versant de la rivière Connecticut aux États-Unis, mais ils devaient fréquenter aussi des territoires plus nordiques comme l'Estrie. En 1670 ils s'installent à Odanak, dans la vallée du Saint-Laurent, à proximité du lac Saint-Pierre. La présence autochtone se poursuit durant les siècles suivants, mais l'implantation de colons durant le XIX^e siècle met de plus en plus de pression sur ces groupes et sur leurs territoires ancestraux de chasse et de pêche. Leur présence s'étirera jusqu'au XX^e siècle, mais de manière beaucoup moins soutenue (Artefactuel 2021; Arkéos 1999b ; Ethnoscop, 2011a; Patrimoine Experts 2016b).

La région estrienne demeure essentiellement un lieu de passage et d'habitation temporaire pour les Autochtones et les Européens jusqu'à la fin du XVIII^e siècle. Des seigneuries sont concédées dans la région du lac Champlain après la construction du fort Saint-Frédéric en 1731, mais sans réel développement (Charland 1961 : 231). Ce n'est qu'avec l'arrivée des loyalistes américains qui quittent

les États-Unis lors de la guerre d'indépendance américaine entre 1776 et 1783 que l'Estrie voit la fondation d'établissements permanents malgré la réticence du gouverneur Haldimand (Campey 2012 : 45). Les premières tentatives d'occupations euroquébécoise sur le territoire de Saint-George-de-Windsor remontent à 1838 avec l'établissement de trois pionniers. Il faudra attendre toutefois l'année 1852 environ pour que soit fondée la paroisse de Saint-Urbain-de-Windsor, laquelle deviendra ensuite Saint-Georges-de-Windsor, nommée ainsi en l'honneur de l'abbé Georges-Jacques Duhaut. L'économie de la municipalité est depuis sa fondation principalement axée vers l'agriculture et la production laitière (Commission de toponymie 2024a; Originis s.d.a). L'examen de photos aériennes de 1945, 1966 et 1984 indique que l'emprise à l'étude était à ces époques utilisée comme champ agricole et qu'elle était exempte de bâtiments (Photothèque nationale de l'air 2025).

3.2.3 Résultats et discussion

L'emprise du projet 154-19-0057 a permis la réalisation d'une inspection visuelle et de 21 sondages répartis dans les trois zones. Aucune trace d'occupations anciennes n'a été mise au jour durant cette intervention archéologique (Tableau 5).

Les sondages ont révélé différentes séquences stratigraphiques selon les endroits. Dans les portions labourées des zones est et ouest, la succession des sols se définit généralement avec un premier niveau de labour fait d'un sol organique argileux brun, compact et contenant du gravier et des cailloux (15 à 20 cm). Il repose sur un niveau de loam sablo-argileux beige avec des variations orangées et blanches, de consistance compacte et avec des inclusions de gravier et de cailloux (15 cm). Vient ensuite une argile sableuse gris beigeâtre, compacte et contenant du gravier et des cailloux (12 cm). Cette couche repose sur une argile sableuse gris beigeâtre, très compacte et renfermant une forte quantité de gravier et de cailloux (15 cm). Enfin, on retrouve sous ce niveau une argile beige très compacte avec du gravier, des cailloux et des pierres de moyennes dimensions (creusé sur 15 cm) (figure 14).

Dans la petite portion boisée de la zone ouest, l'absence de labours montre un profil stratigraphique débutant par un niveau humique brun (22 cm) se déposant sur un loam limono-argileux brun et meuble (30 cm). Sous cette précédente couche repose sur un horizon d'argile gris pâle et très compacte qui n'a été creusée que sur 3 cm.

Du côté de la zone centrale, on voit trois différents profils stratigraphiques. Dans les portions mal drainées, on rencontre un premier niveau organique limoneux, meuble, gris foncé et contenant beaucoup de matières végétales (25 cm). Il se dépose sur autre niveau similaire, mais sans matière végétale, et qui présente une consistance très meuble (creusé sur 30 cm).

D'autres sondages ont plutôt révélé un premier sol argilo-limoneux gris homogène et sans inclusions (30 cm). Il s'appuie sur une argile grise très compacte et contenant beaucoup de gravier et de pierres (creusé sur 12 cm).

Enfin, la dernière séquence rencontrée dans la zone centrale commence par un loam limono-argileux gris accompagné de grosses et moyennes pierres (30 à 45 cm), suivi par un loam sableux orangé meuble avec des inclusions de gravier et de cailloux (10 à 15 cm). Vient ensuite un sable loameux gris contenant aussi du gravier et des cailloux (20 cm). Il repose enfin sur une argile grise très compacte avec des inclusions de gravier et de cailloux (creusé sur 5 cm) (

Figure 15).

Les 21 sondages et l'inspection visuelle réalisés dans l'emprise du projet 154-19-0057 ont donné des résultats négatifs. Dans ce contexte, nous recommandons au MTMD de procéder aux travaux de reconstruction sans la nécessité de poursuivre les recherches archéologiques et sans crainte de porter atteinte au patrimoine enfoui.

Tableau 5 : Inventaire archéologique – synthèse des activités – projet 154-19-0057, municipalité de Saint-Georges-de-Windsor.

Zones	Localisation					Intervention	Nb de sondages		Topographie	Stratigraphie	Remarque
	Début (ch)	Fin (ch)	Long. max. (m)	Larg. max. (m)	Superficie approx. (m ²)		+	-			
Ouest	N/A	N/A	49	25	634	IV SA	0	6	Plane	<p>- <u>Portion labourée</u> : Idem à zone est</p> <p>- <u>Portion boisée</u> :</p> <p>1) Niveau humique brun (22 cm);</p> <p>2) Loam limono-argileux brun et meuble (30 cm).</p> <p>3) Argile gris pâle très compacte (creusée sur 3 cm).</p>	
Centrale	N/A	N/A	36	32	10085	IV SA	0	7	Plane et bosselée	<p><u>Profil type 1</u> :</p> <p>1) Niveau organique limoneux, meuble, gris foncé et contenant beaucoup de matières végétales (25 cm).</p> <p>2) Niveau similaire, mais sans la matière végétale et très meuble (creusé sur 30 cm).</p> <p><u>Profil type 2</u> :</p> <p>1) Sol argilo-limoneux gris homogène (30 cm);</p> <p>2) Argile grise très compacte et contenant beaucoup de gravier et de pierres (creusé sur 12 cm).</p> <p><u>Profil type 3</u> :</p> <p>1) Loam limono-argileux gris avec de grosses et moyennes pierres (30 à 45 cm);</p> <p>2) Loam sableux orangé, meuble, inclusions de gravier et de cailloux (10 à 15 cm);</p> <p>3) Sable loameux gris avec gravier et cailloux (20 cm);</p> <p>4) Argile grise très compacte avec gravier et cailloux (creusé sur 5 cm).</p>	Des portions sont mal drainées
Est	N/A	N/A	73	35	183	IV SA	0	8	Plane	<p>1) Labour fait de sol organique argileux brun, compact avec gravier et cailloux (15 à 20 cm);</p> <p>2) Loam sablo-argileux beige avec variations orangées et blanches, compact, avec gravier et cailloux (15 cm);</p> <p>3) Argile sableuse gris beigeâtre, compacte avec gravier et cailloux (12 cm);</p> <p>4) Argile sableuse gris beigeâtre très compacte avec forte quantité de gravier et cailloux (15 cm);</p> <p>5) Argile beige très compacte avec graviers, cailloux et moyennes pierres (creusé sur 15 cm).</p>	

Légende : IV : inspection visuelle

SA : sondages alternés

SP : sondages ponctuels

TM : tranchées mécaniques

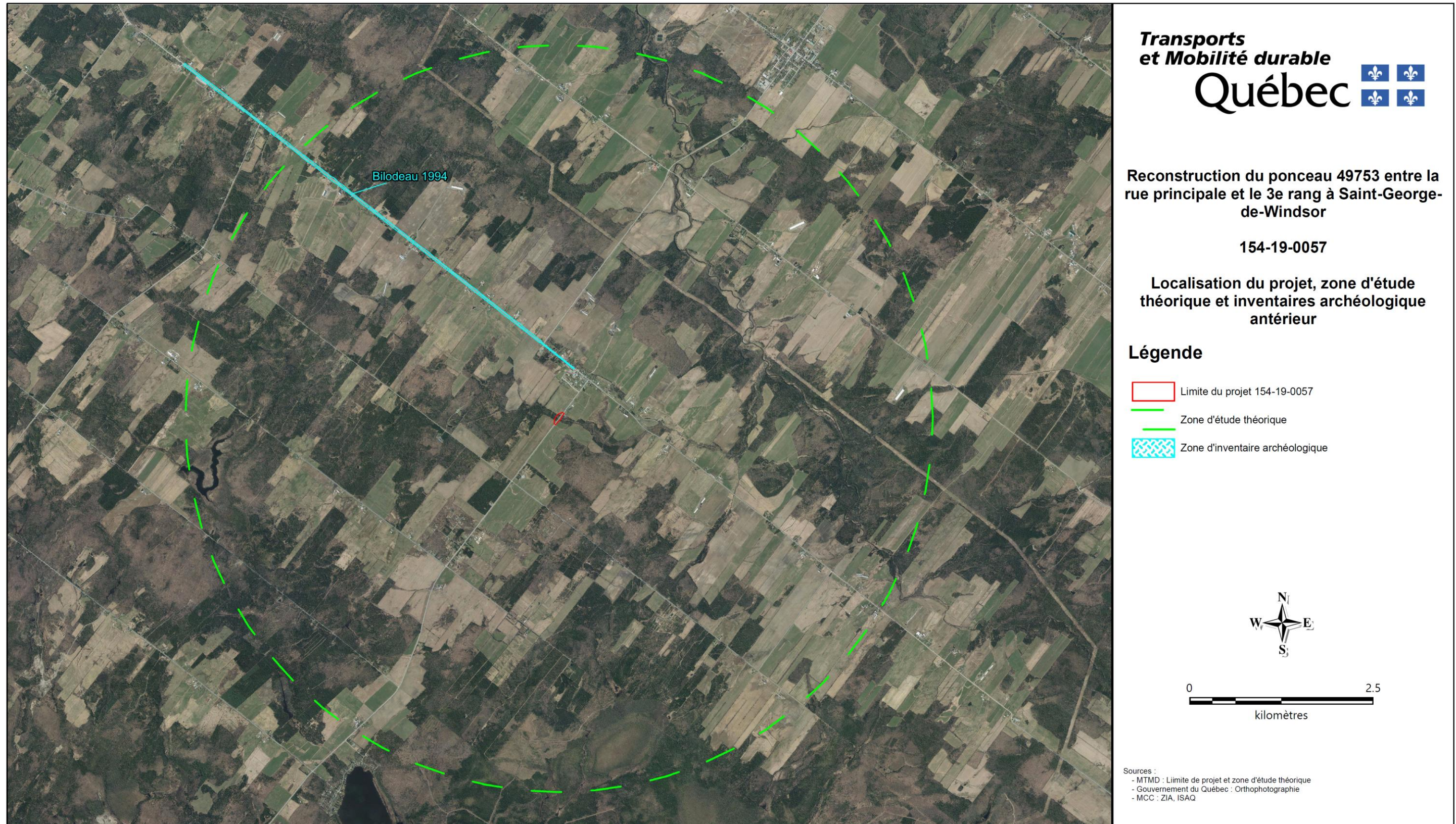


Figure 8 : Plan sur orthophotographie montrant l'emplacement du projet 154-19-0057, ainsi qu'une intervention archéologique antérieure comprise dans la zone d'étude de 5 km de rayon, chemin Brouillard, Saint-Georges-de-Windsor (Source : MTMD).



Figure 9 : Plan de l'emprise à inventoriée, projet 154-19-0057, chemin Brouillard, Saint-Georges-de-Windsor (Source : MTMD).



Figure 10 : Plan sur orthophotographie localisant les sondages archéologiques, projet 154-19-0057, chemin Brouillard, Saint-Georges-de-Windsor.



Figure 11 : Vue de l'emprise de la zone ouest, projet 154-19-0057, chemin Brouillard, Saint-Georges-de-Windsor (vue vers l'est, photo 154-19-0057 (41)).



Figure 12 : Vue de l'emprise de la zone centrale et d'une partie du lit asséché du ruisseau Soucy, projet 154-19-0057, chemin Brouillard, Saint-Georges-de-Windsor (vue vers l'ouest, photo 154-19-0057 (24)).



Figure 13 : Vue de l'emprise de la zone est, projet 154-19-0057, chemin Brouillard, Saint-Georges-de-Windsor (vue vers l'ouest, photo 154-19-0057 (3)).

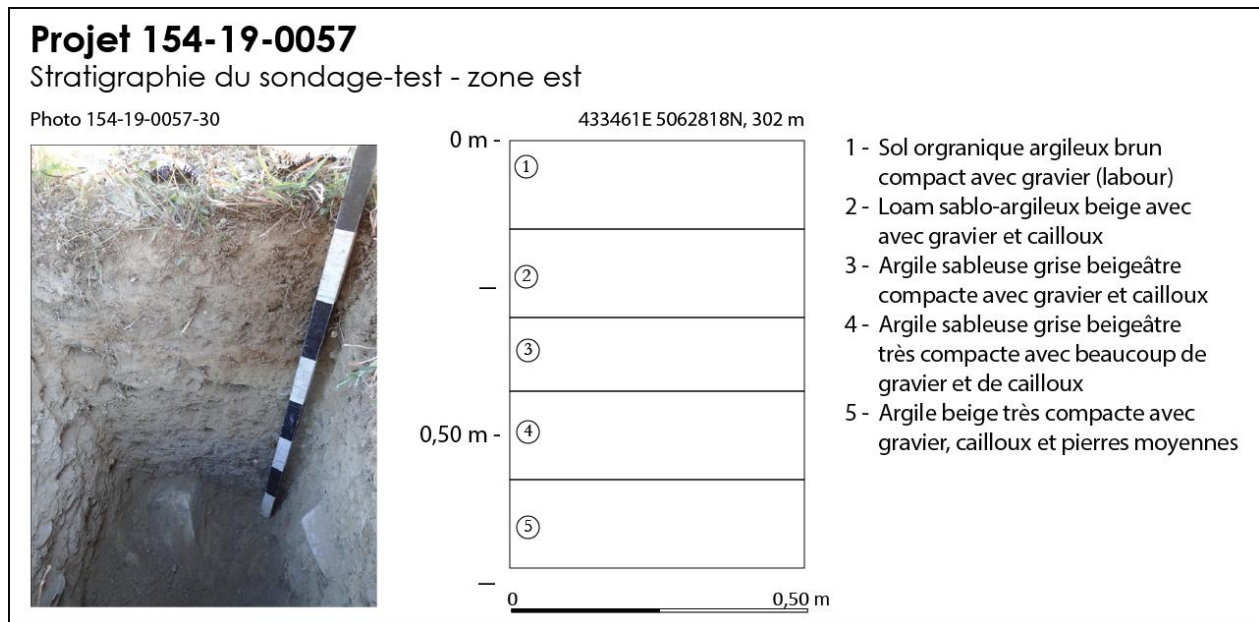
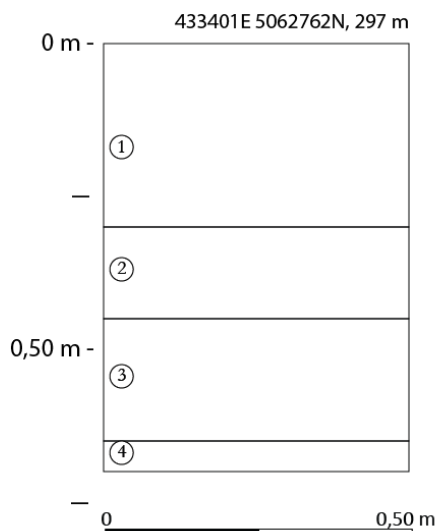


Figure 14 : Vue de la paroi du sondage test situé dans la zone est, projet 154-19-0057, chemin Brouillard, Saint-Georges-de-Windsor (vue vers l'est, photo 154-19-0057 (30)).

Projet 154-19-0057

Stratigraphie du sondage-test - zone centrale

Photo 154-19-0057-38



- 1 - Loam limono-argileux gris avec grosses et moyennes pierres
- 2 - Loam sableux orangé meuble avec gravier et cailloux
- 3 - Sable loameux gris avec gravier et cailloux
- 4 - Argile grise très compacte avec gravier et cailloux

Figure 15 : Vue de la paroi du sondage test situé dans la zone centrale, projet 154-19-0057, chemin Brouillard, Saint-Georges-de-Windsor (vue vers l'est, photo 154-19-0057 (38)).

3.3.1 Projet 154-17-0020 (Saint-Romain)

Le projet 154-17-0020 consiste en la réfection d'un ponceau sur la route 263, dans la municipalité de Saint-Romain (MRC le Granit; circonscription électorale provinciale de Chauveau). L'emprise se situe à l'angle de la route 263 et du chemin des sources, et en bordure du ruisseau rouge qui se déverse dans le Grand lac Saint-François situé à 20 m vers le nord. L'emprise prend la forme d'un polygone irrégulier occupant un replat plus élevé (293 m ANMM) près des deux routes et un autre plus bas (290 m ANMM) en bordure du ruisseau (figures 16 à 20). Les deux replats sont séparés l'un de l'autre par une pente abrupte qui n'est visible qu'au niveau de l'emprise. En effet, la berge du ruisseau plus au sud n'affiche pas deux replats, mais plutôt une pente continue d'inclinaison modérée. Le replat du haut est un espace gazonné et celui du bas est recouvert par de hautes herbes, alors que la pente est parsemée d'arbres immatures et d'arbustes.

Saint-Romain est compris dans la région physiographique des Appalaches, dans l'unité de paysage régional Lac Saint-François qui se caractérise surtout par un relief vallonné et des coteaux arrondis aux versants en pente douce, ainsi que par la présence de larges vallées. Le secteur se situe aussi dans la région écologique des Coteaux de l'Estrie et dans le domaine bioclimatique de l'érablière à bouleau jaune de l'Est (Forêt Ouverte 2025; Robitaille et Saucier 1998). L'emprise inventoriée se situe dans une formation pédologique composée d'alluvions non différenciées à texture variable (IRDA 2008c).

Le mandat consistait à effectuer un inventaire archéologique dans l'emprise des travaux via des sondages manuels espacés de 5 m les uns des autres. Cet inventaire a eu lieu le 19 septembre 2025 et il a été réalisé par une équipe composée d'un archéologue responsable de l'intervention et de deux techniciens-archéologues.

La zone d'étude théorique s'étend sur un rayon de 5 km autour du centre du projet. L'application IGO-MSP du ministère de la Sécurité publique ne dénombre aucun site archéologique et une seule zone d'information archéologique (ZIA) (Tableau 6 et figure 16). À l'intérieur de la zone d'étude théorique, on signale également un immeuble patrimonial ayant fait l'objet d'une citation Q 2024) (Tableau 7).

Tableau 6 : Projet 154-17-0020, interventions archéologiques antérieures dans un rayon de 5 km du centre du projet.

Référence	Localisation	Distance du centre du projet	Résultat	Recommandations
Artefactuel 2018	Route 263, en bordure du Grand lac Saint-François	4,9 km	Négatif	Aucune

Tableau 7 : Projet 154-17-0020, patrimoine immobilier dans un rayon de 5 km du centre du projet.

Patrimoine immobilier	Localisation	Distance du centre du projet	Statut légal
Site patrimonial de l'Église-de-Saint-Vital	209, rue Principale, Lambton.	3,1 km	Citation

3.3.2 Contexte historique de l'aire d'étude théorique

La plus ancienne occupation humaine documentée au Québec à ce jour se situe en Estrie, dans la région du lac Mégantic et le site aurait été occupé il y a environ 12 000 durant la période du Paléoindien ancien (12 500 à 11 350 AA) (Chapdelaine 2004, 2007, 2014). L'Estrie compte de très nombreux sites archéologiques des différentes périodes de la paléohistoire. Ils sont pour la plupart mis au jour à proximité de lacs ou de cours d'eau et témoignent d'une présence de chasseurs-cueilleurs nomades ayant établi de petits campements pour des occupations temporaires. Plus près de notre emprise, les berges du Grand lac Saint-François ont révélé à ce jour cinq sites archéologiques ayant une composante paléohistorique, mais sans datation précise (Morin 1977). La seconde concentration de sites à composante autochtone la plus proche se trouve entre 20 et 30 km vers l'ouest, dans le secteur du lac Aylmer et de la rivière Saint-François. On y retrouve de multiples occupations s'échelonnant du Paléoindien récent jusqu'au début de la période coloniale (ISAQ 2025).

Durant la période coloniale, l'Estrie était le territoire privilégié des W8banaki de l'ouest et surtout d'un sous-groupe nommé les Sokokis. Leur présence était plus soutenue dans l'amont du bassin versant de la rivière Connecticut aux États-Unis, mais ils devaient fréquenter aussi des territoires plus nordiques comme l'Estrie. En 1670 ils s'installent à Odanak, dans la vallée du Saint-Laurent, à proximité du lac Saint-Pierre. La présence autochtone se poursuit durant les siècles suivants, mais l'implantation de colons durant le XIX^e siècle met de plus en plus de pression sur ces groupes et sur leurs territoires ancestraux de chasse et de pêche. Leur présence s'étirera jusqu'au XX^e siècle, mais de manière beaucoup moins soutenue (Artefactuel 2021; Arkéos 1999b ; Ethnoscop, 2011a; Patrimoine Experts 2016b).

La région estrienne demeure essentiellement un lieu de passage et d'habitation temporaire pour les Autochtones et les Européens jusqu'à la fin du XVIII^e siècle. Des seigneuries sont concédées dans la région du lac Champlain après la construction du fort Saint-Frédéric en 1731, mais sans réel développement (Charland 1961 : 231). Ce n'est qu'avec l'arrivée des loyalistes américains qui quittent les États-Unis lors de la guerre d'indépendance américaine entre 1776 et 1783 que l'Estrie voit la fondation d'établissements permanents malgré la réticence du gouverneur Haldimand (Campey 2012 : 45).

En 1838, la *Quebec and Megantic Land Company* achète 90 000 hectares de terres de la Couronne autour du lac Saint-François avec l'espoir d'y attirer les colons britanniques. L'entreprise est toutefois vouée à l'échec et est abandonnée dès 1840 (Kesteman *et al.* 1998 : 97). Les premiers occupants de Saint-Romain s'établissent en 1844, mais il faudra attendre une décennie pour voir la fondation d'une paroisse nommée Saint-Romain-de-Winslow. En 1858 est fondée la municipalité du canton de Winslow-Nord qui deviendra la municipalité de Saint-Romain en 1962 (Commission de toponymie 2024b; Originis s.d.b). L'examen de photos aériennes de 1928 à ce jour tendent à indiquer que l'emprise n'a jamais reçue de bâtiments durant cette période (Photothèque nationale de l'air; GoogleEarth).

3.3.3 Résultats et discussion

L'emprise du projet 154-17-0020 a permis la réalisation d'une inspection visuelle et de onze sondages. Aucune trace d'occupations anciennes n'a été mise au jour durant cette intervention archéologique (Tableau 8).

Les sondages ont révélé deux types de séquences stratigraphiques : une artificielle dans la portion élevée de l'emprise et une naturelle dans la portion basse près du ruisseau. Cette dernière a révélé une séquence débutant par un niveau organique brun et meuble (28 cm) reposant sur un sol argilo-limoneux gris (12 cm), lui-même déposé sur un horizon d'argile grise qui fut creusé sur 10 cm. Ce secteur montre un drainage imparfait et la proximité du cours d'eau implique probablement des inondations fréquentes lors des crues printanières (Figure 21).

Dans la portion élevée, tous les sondages ont démontré des assemblages hétéroclites de niveaux interprétés comme des remblais. Le sondage test montre un niveau humique sableux (3 cm) se déposant sur un sol sablo-argileux brun grisâtre contenant beaucoup de gravier et de cailloux (20 cm). Sous ce dernier on rencontre une couche sablo-argileuse brune avec des inclusions de gravier et de cailloux (30 cm). Elle repose enfin sur un niveau similaire, mais plus compact, plus argileux et plus concentré en inclusions de cailloux (creusé sur 17 cm). Des fragments d'asphalte ont été découverts dans cette dernière couche, illustrant ainsi la nature artificielle de ces sols (**Figure 22**). Cela a aussi été confirmé par l'examen du talus entre les deux niveaux, qui montre les mêmes types de sols que dans les sondages de la zone surélevée, incluant la présence de débris d'asphalte. Il semble ainsi fondé que ce replat ait été aménagé par l'ajout de remblais, probablement lors de la construction des infrastructures routières qui bordent l'emprise. Un tel aménagement expliquerait également pourquoi le reste de la berge du ruisseau est différent et pourquoi il n'affiche pas le même replat.

Les onze sondages et l'inspection visuelle réalisés dans l'emprise du projet 154-17-0020 ont donné des résultats négatifs. Dans ce contexte, nous recommandons au MTMD de procéder aux travaux de reconstruction sans la nécessité de poursuivre les recherches archéologiques et sans crainte de porter atteinte au patrimoine enfoui.

Tableau 8 : Inventaire archéologique – synthèse des activités – projet 154-17-0020, municipalité de Saint-Romain.

Zones	Localisation					Intervention	Nb de sondages		Topographie	Stratigraphie	Remarque
	Début (ch)	Fin (ch)	Long. max. (m)	Larg. max. (m)	Superficie approx. (m ²)		+	-			
Basse	N/A	N/A	4	3	6	IV SA	0	2	Plane	1) Niveau organique brun et meuble (28 cm); 2) Sol argilo-limoneux gris (12 cm); 3) Argile grise (creusé sur 10 cm).	Sol naturel; drainage imparfait
Pente	N/A	N/A	14	6	64	IV SP	0	1	Pente abrupte	Un épais niveau de remblai dans la portion dégagée de la pente. Présence de fragments d'asphaltes.	Remblai
Haute	N/A	N/A	16	14	107	IV SA	0	8	Plane	1) Humus sableux brun grisâtre (3 cm); 2) Niveau sablo-argileux brun grisâtre, compact et contenant du gravier et des cailloux (20 cm); 3) Niveau sablo-argileux brun, compact et contenant du gravier et des cailloux (30 cm); 4) Niveau argilo-sableux brun, très compact et contenant beaucoup de cailloux. Un fragment d'asphalte a été retrouvé dans cette couche (creusé sur 17 cm).	Remblai

Légende : IV : inspection visuelle

SA : sondages alternés

SP : sondages ponctuels

TM : tranchées mécaniques



Figure 16 : Plan sur orthophotographie montrant l'emplacement du projet 154-17-0020, ainsi que les interventions archéologiques antérieures comprises dans la zone d'étude de 5 km de rayon, route 263, Saint-Romain.



Figure 17 : Plan de l'emprise inventoriée, projet 154-17-0020, route 263, Saint-Romain (Source : MTMD).

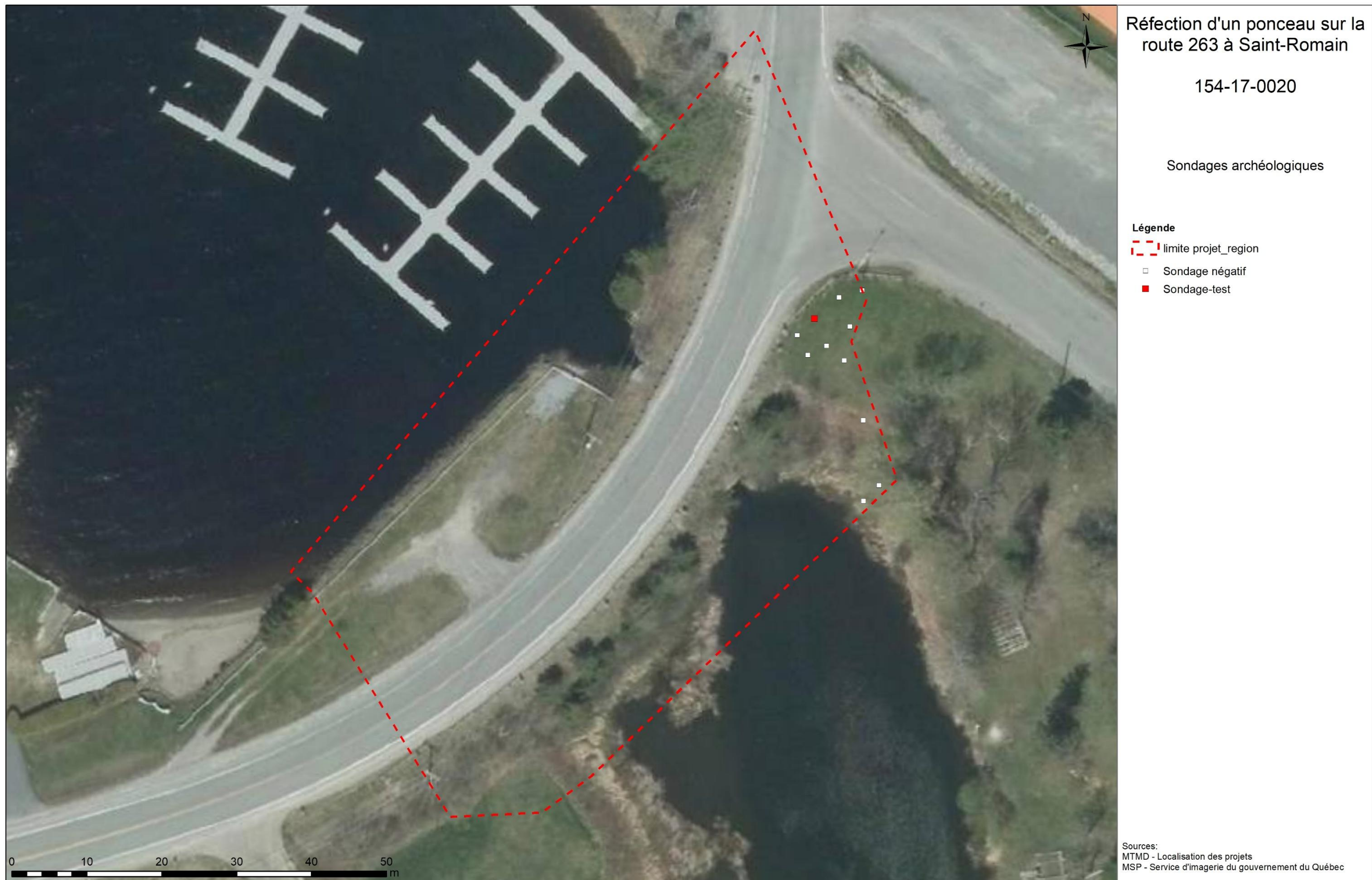


Figure 18 : Plan sur orthophotographie localisant les sondages archéologiques, projet 154-17-0020, route 263, Saint-Romain



Figure 19 : Vue générale du secteur élevé de l'emprise, projet 154-17-0020, route 263, Saint-Romain (vue vers le nord, photo 154-17-0020 (8)).



Figure 20 : Vue générale du secteur bas de l'emprise, projet 154-17-0020, route 263, Saint-Romain (vue vers le nord, photo 154-17-0020 (10)).



Figure 21 : Vue de la paroi d'un sondage situé dans la portion basse de l'emprise, projet 154-17-0020, route 263, Saint-Romain (vue vers le nord, photo 154-17-0020 (16)).

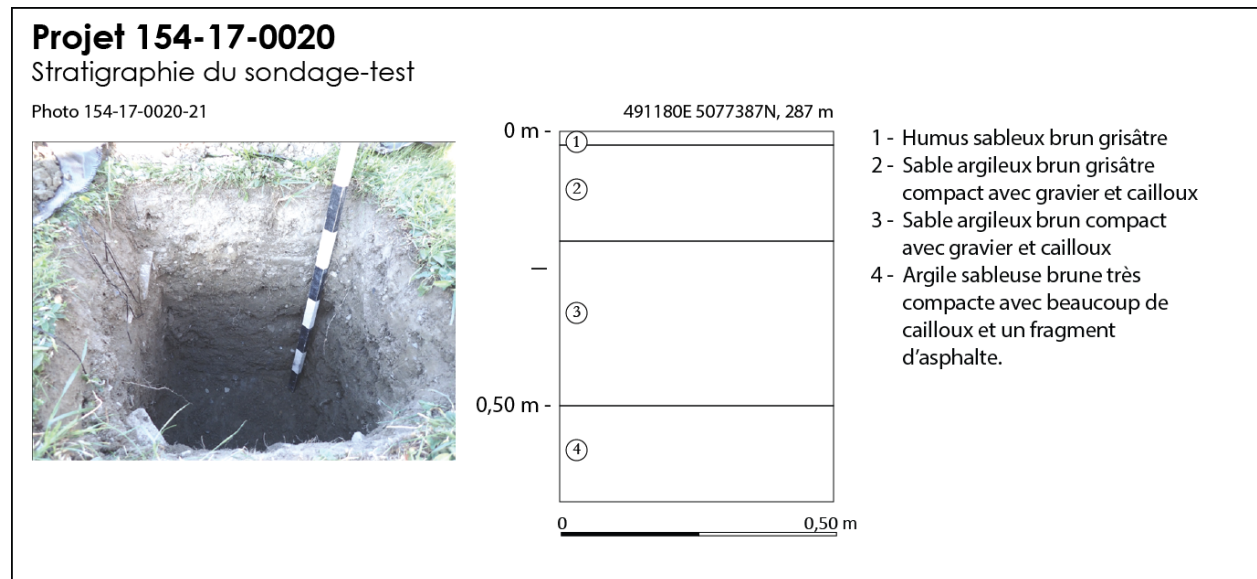


Figure 22 : Vue de la paroi du sondage test situé dans la portion élevée de l'emprise, projet 154-17-0020, route 263, Saint-Romain (vue vers l'est, photo 154-17-0020 (21)).

4.0 CONCLUSION ET RECOMMANDATIONS

Les inventaires archéologiques exécutés sur trois emprises du ministère des Transports et de la Mobilité durable sur le territoire de la direction territoriale de l'Estrie et de la Montérégie et dans les municipalités de Frelighsburg, Saint-Georges-de-Windsor et Saint-Romain n'ont mené à la découverte d'aucun contexte archéologique. Considérant ces résultats négatifs, les projets du MTMD peuvent être réalisés sans porter préjudice au patrimoine enfoui et sans qu'il soit nécessaire de poursuivre les recherches archéologiques.

5.0 BIBLIOGRAPHIE

Arkéos

1999 *Prolongement du réseau de gazoduc TQM vers le réseau de PNGTS, travaux archéologiques, vol. 3a et 3b : fouille au site BbFa-3 (rivière Magog, Magog)*. Urgel Delisle & associés/Gazoduc TQM. Rapport inédit.

Artefactuel

2018 *Inventaire archéologique (2017) - Direction de l'Estrie et de la Montérégie*. MTMDET, rapport inédit.
2025 *Réfection du pont du chemin Richford (P-04794), Frelighsburg (154-04-0805)*. MTMD, rapport inédit.

Bilodeau, Robert

1994 *Inventaires archéologiques de différents projets routiers en Outaouais, Estrie, Abitibi et Lanaudière, août-septembre 1993*. MTQ, rapport inédit.

Blais, Judith et Éric Graillon

1993 *Une troisième saison d'intervention archéologique dans la MRC de Brome-Missisquoi, été 1992*. Université de Montréal.

Burke, Adrian

2019 *Avis de découverte sans permis à Danville (BkFa-1)*. Rapport inédit.
2020 « La gestion des matières premières lithiques par les Paléoindiens récents de Kruger 2 ». *Kruger 2. Un site du Paléoindien récent à Brompton*. Textes réunis sous la direction de Claude Chapdelaine et d'Éric Graillon, Montréal, Paléo-Québec no 39 : 167-200.

Chapdelaine, Claude

1996 « Les premiers occupants : une présence vieille de 5000 ans », dans : *En remontant la rivière aux Brochets. Cinq mille ans d'histoire amérindienne dans Brome-Missisquoi*, Claude Chapdelaine, Judith Blais, Jean-Marc Forget et Daniel St-Arnaud (éd.), Paléo-Québec 25, Recherches amérindiennes au Québec, Montréal : 17-28.
2004 « Des chasseurs de la fin de l'âge glaciaire dans la région de Mégantic. Découverte des premières pointes à cannelures au Québec », *Recherches amérindiennes au Québec* 32 : 3-20.
2007 « Cliche-Rancourt, un site du Paléoindien ancien ». *Entre lacs et montagnes au Méganticois. 12 000 ans d'histoire amérindienne*, Recherches amérindiennes au Québec, Montréal, Paléo-Québec 32 : 47-120.
2014 « Douze mille ans d'histoire amérindienne au Québec, le plus vieux chapitre ». *Archéologiques* 27 : 28-47.

Campey, Lucille H.

2012 *Seeking a better future : the English pioneers of Ontario and Quebec*. The English in Canada. Dundurn, Toronto.

Charland, Thomas

1961 « Un village d'Abénakis sur la rivière Missisquoi ». *Revue d'histoire de l'Amérique française* 15(3): 319-332.

Commission de Toponymie

2024a « Saint-Georges-de-Windsor » [ressource en ligne] https://toponymie.gouv.qc.ca/ct/ToposWeb/Fiche.aspx?no_seq=296333 (page consultée le 14 décembre 2025)

2024b « Saint-Romain » [ressource en ligne] https://toponymie.gouv.qc.ca/ct/ToposWeb/Fiche.aspx?no_seq=296333 (page consultée le 14 décembre 2025)

Demers, Jeanne et Jean-Marie Demers

1997 « Le moulin Freligh ». *Histoire Québec* 2 (2): 41-42.

Ethnoscop

2011 *Interconnexion Québec-New Hampshire : Étude de potentiel archéologique*. Hydro-Québec. Rapport inédit.

2012 *Surveillance archéologique (2009), direction de l'Est-de-la-Montérégie. Direction générale de Montréal et de l'Ouest*. Ministère de la Culture et des Communications du Québec.

Forêt Ouverte

2025 Carte interactive des données écoforestières [ressource en ligne] : <https://www.foretouverte.gouv.qc.ca/> (site consulté le 16 décembre 2025).

Gosselin, Jocelyn

2007 *Guide de reconnaissance des types écologiques - région écologique 2c Coteaux de l'Estrie*. Gouvernement du Québec - Ministère des Ressources naturelles et de la Faune - Direction des inventaires forestiers, Québec.

IRDA

2008a *Carte pédologique - feuillet 31H02101*. Institut de recherche et de développement en agroenvironnement (IRDA), Québec.

2008b *Carte pédologique - feuillet 21E12201*. Institut de recherche et de développement en agroenvironnement (IRDA), Québec.

2008c *Carte pédologique - feuillet 21E14102*. Institut de recherche et de développement en agroenvironnement (IRDA), Québec.

ISAQ

2025 *Inventaire des sites archéologiques du Québec*. Ministère de la Culture et des Communications. Base de données inédite.

Kesteman, J.P., P. Southam et D. Saint-Pierre

1998 *Histoire des Cantons de l'Est*. Québec : Presses de l'Université Laval, collections Les régions du Québec no 10.

Morin, Bertrand

1977 *Reconnaissance archéologique au lac Saint-François*. MAC, rapport inédit

Originis

s.d.a « Saint-Georges-de-Windsor » [ressource en ligne] https://originis.ca/paroisses/p_alpha/p_saint/paroisse_saint_georges_de_windsor/ (page consultée le 14 décembre 2025).

s.d.b « Saint-Romain » [ressource en ligne] https://originis.ca/paroisses/p_alpha/p_saint/paroisse_saint_roman/ (page consultée le 14 décembre 2025).

Photothèque nationale de l'air

2025 Système de données d'observation de la Terre. Gouvernement du Canada [Ressource en ligne] : <https://www.eodms-sgdot.nrcan-rncan.gc.ca/index-fr.html> (site consulté le 16 décembre 2025).

Répertoire du Patrimoine culturel du Québec

2024a *Église Bishop Stewart of the Holy Trinity*. Ministère de la Culture et des Communications du Québec, Québec [ressource en ligne] : <https://www.patrimoine-culturel.gouv.qc.ca/> (page consultée le 16 décembre 2025).

2024b *Église de Saint-François d'Assise*. Ministère de la Culture et des Communications du Québec, Québec [ressource en ligne] : <https://www.patrimoine-culturel.gouv.qc.ca/> (page consultée le 16 décembre 2025).

2024c *Moulin Freligh*. Ministère de la Culture et des Communications du Québec, Québec [ressource en ligne] : <https://www.patrimoine-culturel.gouv.qc.ca/> (page consultée le 16 décembre 2025).

2024d *Presbytère de l'église Bishop Stewart Memorial of the Holy Trinity*. Ministère de la Culture et des Communications du Québec, Québec [ressource en ligne] : <https://www.patrimoine-culturel.gouv.qc.ca/> (page consultée le 16 décembre 2025).

2024e *Cimetière de l'église Bishop Stewart Memorial of the Holy Trinity*. Ministère de la Culture et des Communications du Québec, Québec [ressource en ligne] : <https://www.patrimoine-culturel.gouv.qc.ca/> (page consultée le 16 décembre 2025).

2024f *Presbytère de Saint-Georges-de-Windsor*. Ministère de la Culture et des Communications du Québec, Québec [ressource en ligne] : <https://www.patrimoine-culturel.gouv.qc.ca/> (page consultée le 16 décembre 2025).

2024g *Site patrimonial de l'Église-de-Saint-Vital*. Ministère de la Culture et des Communications du Québec, Québec [ressource en ligne] : <https://www.patrimoine-culturel.gouv.qc.ca/> (page consultée le 16 décembre 2025).

Robinson, Francis

2009 « The Reagen Site Revisited: a Contemporary Analysis of a Formative Northeastern Paleoindian Site ». *Archaeology of Eastern North America*, 37, 85–147.

Robinson Francis W., John G. Crock et Wetherbee Dorshow

2018 « Paleoindian Sites, Site Patterning, and Travel Corridors Along the Southern Arm of the Champlain Sea ». *In the Eastern Fluted Point Tradition, Volume 2*. Édité par Joseph A. M. Gingerich, The University of Utah Press : 326-347.

Robitaille, A. et J.P. Saucier

1998 *Paysages régionaux du Québec méridional*. Les Publications du Québec, Québec.

Thomas, Peter A.

1992 « The Early and Middle Archaic Periods as Represented in Western Vermont », dans B. S. IN ROBINSON, J. B. Petersen et A. K. Robinson (dir.), *Early Holocene Occupation in Northern New England*. Occasional Publications in Maine Archaeology 9 : 187-203.

1994 « Vermont Archaeology Comes of Age : A Perspective on Vermont's Prehistoric Past », *The Journal of Vermont Archaeology*, vol. 1 : 38-91.

ANNEXE 1 : CATALOGUE DES PHOTOGRAPHIES

N°	Projet	Date	Orient.	Description
154-17-0020 (1)	154-17-0020	19-09-2025	O	Vue générale de l'emprise du projet.
154-17-0020 (2)	154-17-0020	19-09-2025	S	Vue générale de l'emprise du projet.
154-17-0020 (3)	154-17-0020	19-09-2025	S	Vue générale de l'emprise du projet.
154-17-0020 (4)	154-17-0020	19-09-2025	E	Vue générale de l'emprise du projet.
154-17-0020 (5)	154-17-0020	19-09-2025	S	Vue générale de l'emprise du projet.
154-17-0020 (6)	154-17-0020	19-09-2025	O	Vue générale de l'emprise du projet.
154-17-0020 (7)	154-17-0020	19-09-2025	S	Vue générale de l'emprise du projet.
154-17-0020 (8)	154-17-0020	19-09-2025	NO	Vue générale de l'emprise du projet.
154-17-0020 (9)	154-17-0020	19-09-2025	N	Vue générale de l'emprise du projet.
154-17-0020 (10)	154-17-0020	19-09-2025	NO	Vue générale de l'emprise du projet près de la rivière.
154-17-0020 (11)	154-17-0020	19-09-2025	O	Vue générale de l'emprise du projet près de la rivière.
154-17-0020 (12)	154-17-0020	19-09-2025	N	Vue générale de l'emprise du projet près de la rivière.
154-17-0020 (13)	154-17-0020	19-09-2025	NE	Vue de la pente du talus entre les deux niveaux de l'emprise nettoyée des débris de surface.
154-17-0020 (14)	154-17-0020	19-09-2025	NE	Vue de la pente du talus entre les deux niveaux de l'emprise nettoyée des débris de surface.
154-17-0020 (15)	154-17-0020	19-09-2025	SE	Vue de la berge de la rivière au sud de l'emprise.
154-17-0020 (16)	154-17-0020	19-09-2025	SE	Vue de la berge de la rivière au sud de l'emprise.
154-17-0020 (17)	154-17-0020	19-09-2025	O	Paroi d'un sondage dans la portion élevée de l'emprise.
154-17-0020 (18)	154-17-0020	19-09-2025	N	Paroi du sondage situé dans la portion basse de l'emprise.
154-17-0020 (19)	154-17-0020	19-09-2025	N	Paroi du sondage situé dans la portion basse de l'emprise.
154-17-0020 (20)	154-17-0020	19-09-2025	N	Paroi du sondage situé dans la portion basse de l'emprise.
154-17-0020 (21)	154-17-0020	19-09-2025	N	Paroi du sondage situé dans la portion basse de l'emprise.
154-17-0020 (22)	154-17-0020	19-09-2025	N	Paroi du sondage situé dans la portion basse de l'emprise.
154-17-0020 (23)	154-17-0020	19-09-2025	E	Paroi est du sondage test du projet
154-17-0020 (24)	154-17-0020	19-09-2025	E	Paroi est du sondage test du projet
154-17-0020 (25)	154-17-0020	19-09-2025	E	Paroi est du sondage test du projet
154-17-0020 (26)	154-17-0020	19-09-2025	E	Paroi est du sondage test du projet
154-17-0020 (27)	154-17-0020	19-09-2025	E	Paroi est du sondage test du projet
154-19-0057 (1)	154-19-0057	20-09-2025	O	Vue générale du secteur est de l'emprise.
154-19-0057 (2)	154-19-0057	20-09-2025	O	Vue générale du secteur est de l'emprise.
154-19-0057 (3)	154-19-0057	20-09-2025	O	Vue générale du secteur est de l'emprise.
154-19-0057 (4)	154-19-0057	20-09-2025	S	Vue générale du secteur est de l'emprise.
154-19-0057 (5)	154-19-0057	20-09-2025	SW	Vue générale du secteur est de l'emprise.
154-19-0057 (6)	154-19-0057	20-09-2025	S	Vue générale du secteur est de l'emprise.
154-19-0057 (7)	154-19-0057	20-09-2025	S	Vue générale du secteur est de l'emprise.
154-19-0057 (8)	154-19-0057	20-09-2025	SE	Vue générale du secteur est de l'emprise.
154-19-0057 (9)	154-19-0057	20-09-2025	E	Vue générale du secteur est de l'emprise.
154-19-0057 (10)	154-19-0057	20-09-2025	N	Paroi nord d'un sondage (secteur est).
154-19-0057 (11)	154-19-0057	20-09-2025	N	Paroi nord d'un sondage (secteur est).
154-19-0057 (12)	154-19-0057	20-09-2025	NE	Vue de la zone boisée en pente entre les secteurs est et central.
154-19-0057 (13)	154-19-0057	20-09-2025	NE	Vue de la zone boisée en pente entre les secteurs est et central.
154-19-0057 (14)	154-19-0057	20-09-2025	O	Vue générale du secteur central de l'emprise (près du ruisseau).
154-19-0057 (15)	154-19-0057	20-09-2025	O	Vue générale du secteur central de l'emprise (près du ruisseau).
154-19-0057 (16)	154-19-0057	20-09-2025	NO	Vue générale du secteur central de l'emprise (près du ruisseau).
154-19-0057 (17)	154-19-0057	20-09-2025	NO	Vue générale du secteur central de l'emprise (près du ruisseau).
154-19-0057 (18)	154-19-0057	20-09-2025	NO	Vue générale du secteur central de l'emprise (près du ruisseau).
154-19-0057 (19)	154-19-0057	20-09-2025	NO	Vue générale du secteur central de l'emprise (près du ruisseau).
154-19-0057 (20)	154-19-0057	20-09-2025	NO	Vue générale du secteur central de l'emprise (près du ruisseau).

N°	Projet	Date	Orient.	Description
154-19-0057 (21)	154-19-0057	20-09-2025	NO	Vue générale du secteur central de l'emprise (près du ruisseau).
154-19-0057 (22)	154-19-0057	20-09-2025	NO	Vue générale du secteur central de l'emprise (près du ruisseau).
154-19-0057 (23)	154-19-0057	20-09-2025	S	Vue du lit asséché du ruisseau.
154-19-0057 (24)	154-19-0057	20-09-2025	O	Vue du lit asséché du ruisseau.
154-19-0057 (25)	154-19-0057	20-09-2025	O	Vue du lit asséché du ruisseau.
154-19-0057 (26)	154-19-0057	20-09-2025	N	Vue du lit asséché du ruisseau.
154-19-0057 (27)	154-19-0057	20-09-2025	E	Paroi est du sondage test situé dans le secteur est de l'emprise
154-19-0057 (28)	154-19-0057	20-09-2025	E	Paroi est du sondage test situé dans le secteur est de l'emprise
154-19-0057 (29)	154-19-0057	20-09-2025	E	Paroi est du sondage test situé dans le secteur est de l'emprise
154-19-0057 (30)	154-19-0057	20-09-2025	E	Paroi est du sondage test situé dans le secteur est de l'emprise
154-19-0057 (31)	154-19-0057	20-09-2025	E	Paroi est du sondage test situé dans le secteur est de l'emprise
154-19-0057 (32)	154-19-0057	20-09-2025	E	Paroi est du sondage test situé dans le secteur est de l'emprise
154-19-0057 (33)	154-19-0057	20-09-2025	E	Paroi est de sondage situé dans le secteur central.
154-19-0057 (34)	154-19-0057	20-09-2025	E	Paroi est de sondage situé dans le secteur central.
154-19-0057 (35)	154-19-0057	20-09-2025	O	Paroi est de sondage situé dans le secteur central.
154-19-0057 (36)	154-19-0057	20-09-2025	O	Paroi est de sondage situé dans le secteur central.
154-19-0057 (37)	154-19-0057	20-09-2025	S	Paroi sud du sondage test du secteur central
154-19-0057 (38)	154-19-0057	20-09-2025	S	Paroi sud du sondage test du secteur central
154-19-0057 (39)	154-19-0057	20-09-2025	S	Paroi sud du sondage test du secteur central
154-19-0057 (40)	154-19-0057	20-09-2025	S	Paroi sud du sondage test du secteur central
154-19-0057 (41)	154-19-0057	20-09-2025	E	Vue générale du secteur ouest.
154-19-0057 (42)	154-19-0057	20-09-2025	E	Vue générale du secteur ouest.
154-19-0057 (43)	154-19-0057	20-09-2025	O	Vue générale du secteur ouest.
154-19-0057 (44)	154-19-0057	20-09-2025	N	Vue générale du secteur ouest.
154-19-0057 (45)	154-19-0057	20-09-2025	N	Paroi nord du sondage test situé dans le secteur ouest.
154-19-0057 (46)	154-19-0057	20-09-2025	N	Paroi nord du sondage test situé dans le secteur ouest.
154-20-0770 (1)	154-20-0770	21-09-2025	O	Vue de l'emprise depuis son extrémité est.
154-20-0770 (2)	154-20-0770	21-09-2025	O	Vue de l'emprise depuis son extrémité est.
154-20-0770 (3)	154-20-0770	21-09-2025	O	Vue de l'emprise depuis son extrémité est.
154-20-0770 (4)	154-20-0770	21-09-2025	NO	Vue de l'emprise depuis son extrémité est.
154-20-0770 (5)	154-20-0770	21-09-2025	S	Paroi sud d'un sondage
154-20-0770 (6)	154-20-0770	21-09-2025	S	Paroi sud d'un sondage
154-20-0770 (7)	154-20-0770	21-09-2025	SE	Vue de la portion ouest de l'emprise.
154-20-0770 (8)	154-20-0770	21-09-2025	S	Vue de la portion ouest de l'emprise.
154-20-0770 (9)	154-20-0770	21-09-2025	O	Vue de la portion ouest de l'emprise.
154-20-0770 (10)	154-20-0770	21-09-2025	E	Vue de la portion ouest de l'emprise.
154-20-0770 (11)	154-20-0770	21-09-2025	O	Paroi ouest d'un sondage
154-20-0770 (12)	154-20-0770	21-09-2025	O	Paroi ouest d'un sondage
154-20-0770 (13)	154-20-0770	21-09-2025	O	Paroi ouest d'un sondage
154-20-0770 (14)	154-20-0770	21-09-2025	O	Paroi ouest du sondage test
154-20-0770 (15)	154-20-0770	21-09-2025	O	Paroi ouest du sondage test
154-20-0770 (16)	154-20-0770	21-09-2025	O	Paroi ouest du sondage test
154-20-0770 (17)	154-20-0770	21-09-2025	O	Paroi ouest du sondage test
154-20-0770 (18)	154-20-0770	21-09-2025	S	Vue du sentier qui traverse la portion centrale de l'emprise.
154-20-0770 (19)	154-20-0770	21-09-2025	O	Vue du sentier qui traverse la portion centrale de l'emprise.
154-20-0770 (20)	154-20-0770	21-09-2025	E	Vue du sentier qui traverse la portion centrale de l'emprise.
154-20-0770 (21)	154-20-0770	21-09-2025	S	Paroi ouest du sondage test.
154-20-0770 (22)	154-20-0770	21-09-2025	S	Paroi ouest du sondage test.
154-20-0770 (23)	154-20-0770	21-09-2025	NE	Vue générale de l'emprise depuis son extrémité ouest.
154-20-0770 (24)	154-20-0770	21-09-2025	NE	Vue générale de l'emprise depuis son extrémité ouest.
154-20-0770 (24)	154-20-0770	21-09-2025	NE	Vue générale de l'emprise depuis son extrémité ouest.
154-20-0770 (25)	154-20-0770	21-09-2025	NE	Vue générale de l'emprise depuis son extrémité ouest.

ANNEXE 2 : PLANCHES CONTACTS DES PHOTOGRAPHIES

Projet 154-20-0770



154-20-0770 (1)



154-20-0770 (2)



154-20-0770 (3)



154-20-0770 (4)



154-20-0770 (5)



154-20-0770 (6)



154-20-0770 (7)



154-20-0770 (8)



154-20-0770 (9)



154-20-0770 (10)



154-20-0770 (11)



154-20-0770 (12)



154-20-0770 (13)



154-20-0770 (14)



154-20-0770 (15)



154-20-0770 (16)



154-20-0770 (17)



154-20-0770 (18)



154-20-0770 (19)



154-20-0770 (20)



154-20-0770 (21)



154-20-0770 (22)



154-20-0770 (23)



154-20-0770 (24)



154-20-0770 (25)

Projet 154-19-0057

Patrick Eid (Patr



154-19-0057 (1)



154-19-0057 (2)



154-19-0057 (3)



154-19-0057 (4)



154-19-0057 (5)



154-19-0057 (6)



154-19-0057 (7)



154-19-0057 (8)



154-19-0057 (9)



154-19-0057 (10)



154-19-0057 (11)



154-19-0057 (12)



154-19-0057 (13)



154-19-0057 (14)



154-19-0057 (15)



154-19-0057 (16)



154-19-0057 (17)



154-19-0057 (18)



154-19-0057 (19)



154-19-0057 (20)



154-19-0057 (21)



154-19-0057 (22)



154-19-0057 (23)



154-19-0057 (24)



154-19-0057 (25)



154-19-0057 (26)



154-19-0057 (27)



154-19-0057 (28)



154-19-0057 (29)



154-19-0057 (30)



154-19-0057 (31)



154-19-0057 (32)



154-19-0057 (33)



154-19-0057 (34)



154-19-0057 (35)



154-19-0057 (36)



154-19-0057 (37)



154-19-0057 (38)



154-19-0057 (39)



154-19-0057 (40)



154-19-0057 (41)



154-19-0057 (42)



154-19-0057 (43)



154-19-0057 (44)



154-19-0057 (45)



154-19-0057 (46)

Project 154-17-0020



154-17-0020 (1)



154-17-0020 (2)



154-17-0020 (3)



154-17-0020 (4)



154-17-0020 (5)



154-17-0020 (6)



154-17-0020 (7)



154-17-0020 (8)



154-17-0020 (9)



154-17-0020 (10)



154-17-0020 (11)



154-17-0020 (12)



154-17-0020 (13)



154-17-0020 (14)



154-17-0020 (15)



154-17-0020 (16)



154-17-0020 (17)



154-17-0020 (18)



154-17-0020 (19)



154-17-0020 (20)



154-17-0020 (21)



154-17-0020 (22)



154-17-0020 (23)



154-17-0020 (24)



154-17-0020 (25)



154-17-0020 (26)



154-17-0020 (27)

ANNEXE 3 : CATALOGUE DES DOCUMENTS GRAPHIQUES

Fichier	Titre	Type	Format	Sources	Auteur
Figure 1	Localisation des projets inventoriés	Carte	.mxd	<ul style="list-style-type: none"> ▪ MTMD ▪ MSP 	Artefactuel
154-20-0770-1	Réfection du ponceau sur le chemin St-Armand, Frelighsburg, 154-20-0770, Interventions archéologiques antérieures à l'intérieur de la zone d'étude théorique sur orthophotographie	Carte	.pdf	<ul style="list-style-type: none"> ▪ MTMD ▪ MSP 	MTMD
154-20-0770-2	Réfection de ponceau sur le chemin St-Armand, Frelighsburg, 154-20-0770, Zone à inventorier sur tuile d'humidité topographique et modèle numérique de terrain	Carte	.pdf	<ul style="list-style-type: none"> ▪ MTMD ▪ MRNF 	MTMD
154-20-0770-3	Réfection de ponceau sur le chemin St-Armand, Frelighsburg, 154-20-0770, Sondages archéologiques	Carte	.mxd	<ul style="list-style-type: none"> ▪ MTMD ▪ MSP ▪ Artefactuel 	Artefactuel
154-20-0770-4	Projet 154-20-0770 – Stratigraphie du sondage-test	Strati	.ai	<ul style="list-style-type: none"> ▪ Artefactuel 	Artefactuel
154-19-0057-1	Reconstruction du ponceau 49753 entre la rue principale et le 3 ^e rang à Saint-Georges-de-Windsor, 154-19-0057, Localisation du projet, zone d'étude théorique et inventaire archéologique antérieur	Carte	.pdf	<ul style="list-style-type: none"> ▪ MTMD ▪ MSP ▪ MCC 	MTMD
154-19-0057-2	Reconstruction du ponceau 49753 entre la rue principale et le 3 ^e rang à Saint-Georges-de-Windsor, 154-19-0057, Zone à inventorier	Carte	.pdf	<ul style="list-style-type: none"> ▪ MTMD ▪ MRNF 	MTMD
154-19-0057-3	Reconstruction du ponceau 49753 entre la rue principale et le 3 ^e rang à Saint-Georges-de-Windsor, 154-19-0057, Sondages archéologiques	Carte	.mxd	<ul style="list-style-type: none"> ▪ MTMD ▪ MSP ▪ Artefactuel 	Artefactuel
154-19-0057-4	Projet 154-19-0057, Stratigraphie du sondage-test – zone est	Strati	.ai	<ul style="list-style-type: none"> ▪ Artefactuel 	Artefactuel
154-19-0057-5	Projet 154-19-0057, Stratigraphie du sondage-test – zone centrale	Strati	.ai	<ul style="list-style-type: none"> ▪ Artefactuel 	Artefactuel
154-17-0020-1	Réfection d'un ponceau sur la route 263 à Saint-Romain, 154-17-0020, Localisation du projet, zone d'étude théorique et inventaire archéologique antérieur	Carte	.mxd	<ul style="list-style-type: none"> ▪ MTMD ▪ MSP ▪ MCC 	Artefactuel
154-17-0020-2	Reconstruction d'un ponceau sur sur la route 263 à Saint-Romain, 154-17-0020, Zone à inventorier	Carte	.pdf	<ul style="list-style-type: none"> ▪ MTMD 	MTMD
154-17-0020-3	Réfection d'un ponceau sur la route 263 à Saint-Romain, 154-17-0020, Sondages archéologiques	Carte	.mxd	<ul style="list-style-type: none"> ▪ MTMD ▪ MSP ▪ Artefactuel 	Artefactuel
154-17-0020-4	Projet 154-17-0020, Stratigraphie du sondage-test	Strati	.ai	<ul style="list-style-type: none"> ▪ Artefactuel 	Artefactuel